

Сергей Петрушанко (for the CMS Collaboration)



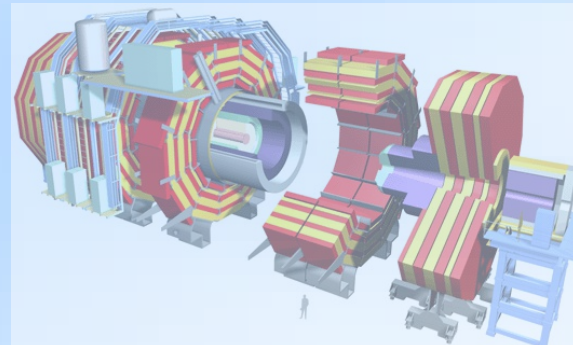
НИИЯФ МГУ

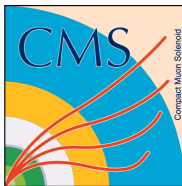
Heavy-ion Physics Results by the CMS Experiment

Результаты
по физике тяжелых ионов
в эксперименте CMS

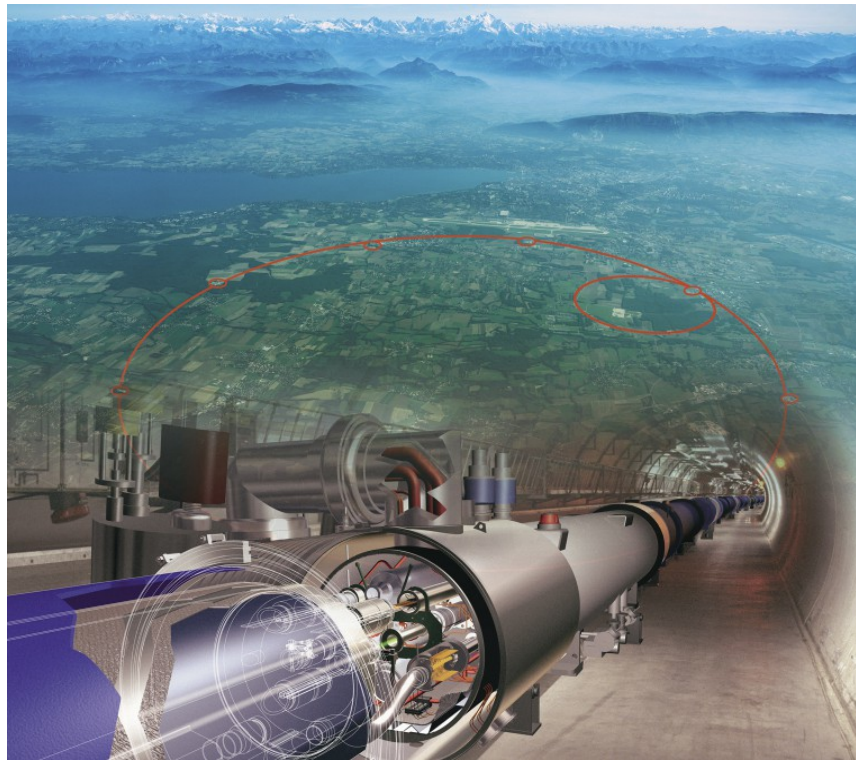
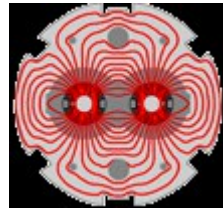


LXXIV International Conference
*"Nucleus-2024: Fundamental
Problems and Applications"*
JINR, Dubna, Russia
1 – 5 July 2024

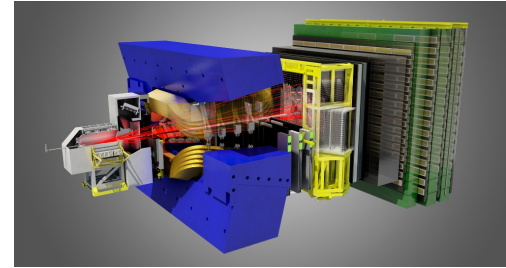




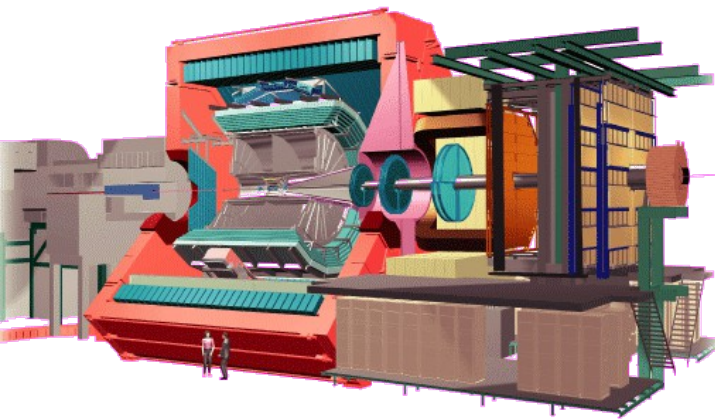
Физика тяжелых ионов на LHC



LHCb



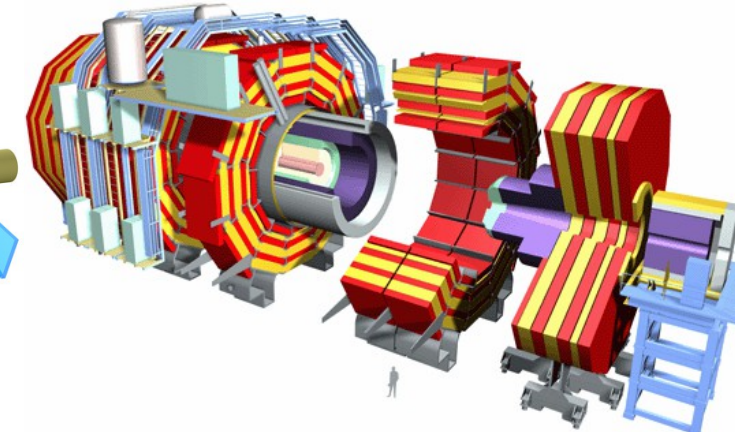
ALICE

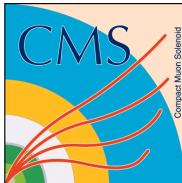


ATLAS



CMS





Компактный Мюонный Соленоид (CMS)



CMS DETECTOR

Total weight : 14,000 tonnes
 Overall diameter : 15.0 m
 Overall length : 28.7 m
 Magnetic field : 3.8 T

STEEL RETURN YOKE
 12,500 tonnes

SILICON TRACKERS
 Pixel ($100 \times 150 \mu\text{m}$) $\sim 1\text{m}^2 \sim 66\text{M}$ channels
 Microstrips ($80 \times 180 \mu\text{m}$) $\sim 200\text{m}^2 \sim 9.6\text{M}$ channels

SUPERCONDUCTING SOLENOID
 Niobium titanium coil carrying $\sim 18,000\text{A}$

MUON CHAMBERS
 Barrel: 250 Drift Tube, 480 Resistive Plate Chambers
 Endcaps: 540 Cathode Strip, 576 Resistive Plate Chambers

PRESHOWER
 Silicon strips $\sim 16\text{m}^2 \sim 137,000$ channels

FORWARD CALORIMETER
 Steel + Quartz fibres $\sim 2,000$ Channels

CRYSTAL
 ELECTROMAGNETIC
 CALORIMETER (ECAL)
 $\sim 76,000$ scintillating PbWO_4 crystals

HADRON CALORIMETER (HCAL)
 Brass + Plastic scintillator $\sim 7,000$ channels

Магнитное поле: 3.8 Тесла

◆ Кремниевый трекер

$|\eta| < 2.4$

◆ Электромагнитный
калориметр

$|\eta| < 3.0$

◆ Адронный калориметр
центр + торец

$|\eta| < 3.0$

+ HF-калориметр

$|\eta| < 5.2$

◆ Мюонные камеры

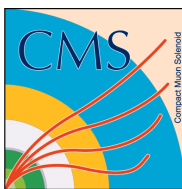
$|\eta| < 2.4$

+ Детектор CASTOR

$-5.2 < \eta < -6.6$

+ Калориметр Zero-Degree

+ TOTEM



CMS как эксперимент по тяжелым ионам: герметичность, разрешение, гибкий триггер и DAQ

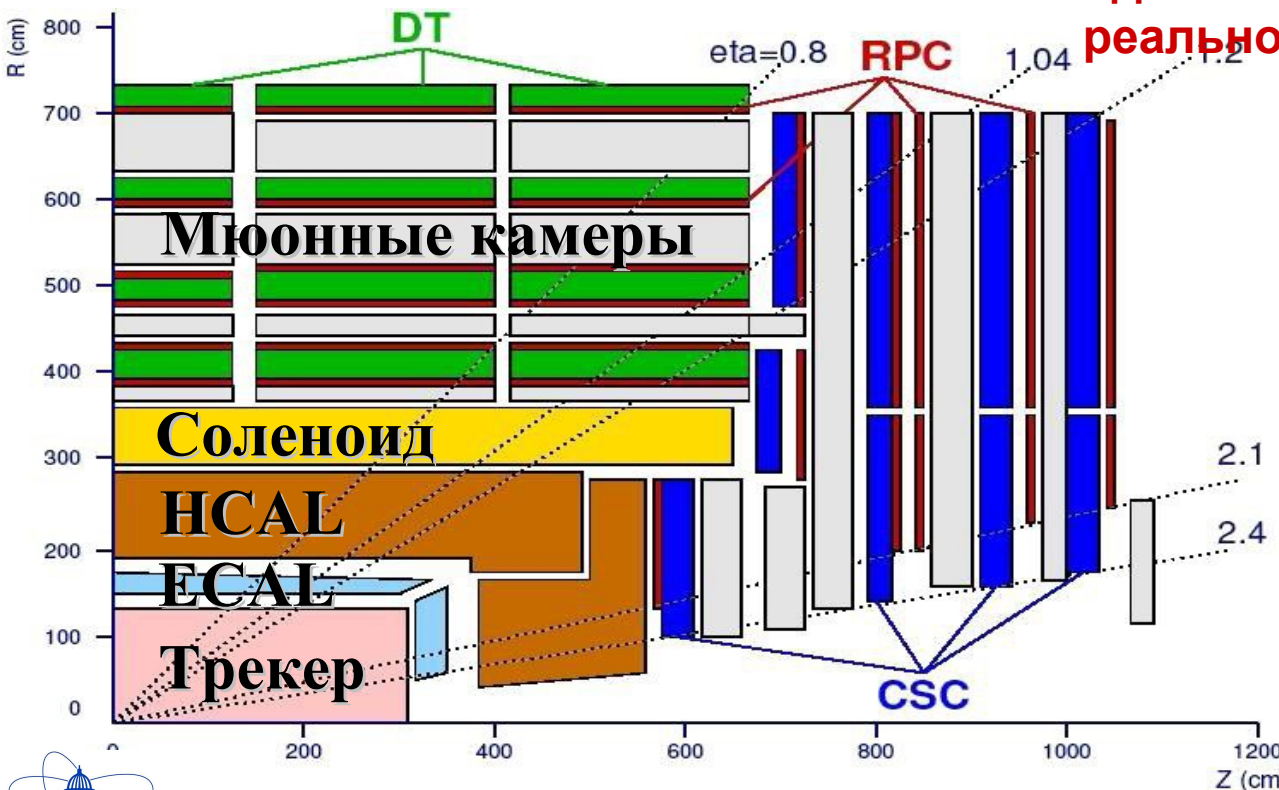


Калориметры: высокое разрешение и сегментация

- герметичность до $|\eta| < 5.2$
- $-5.2 < \eta < -6.6$ CASTOR
- Zero-Degree калориметр

Мюоны: μ от Z^0 , J/ψ , Υ

- широкое покрытие до $|\eta| < 2.4$
- высокое разрешение масс димюонов



Кремниевый детектор

- высокая эффективность и чистота для треков с $p_T > 1$ ГэВ/с
- загрузка пикселей: < 2%
- $\Delta p/p \approx 1\text{--}2\%$ для треков с $p_T < 100$ ГэВ/с
- регистрация треков с низким p_T

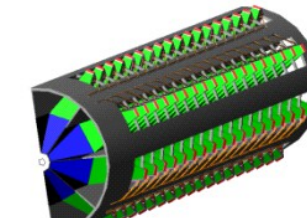
Триггер и DAQ

- Широкие возможности: AA и pp
- для тяжелых ионов: реконструкция в реальном времени для HLT



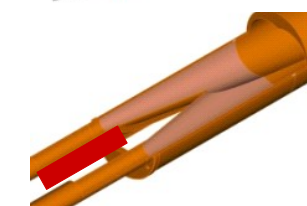
HF

$3 < |\eta| < 5.2$



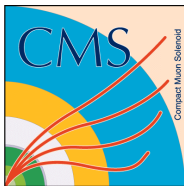
CASTOR

$-5.2 < \eta < -6.6$



ZDC

$(z = \pm 140$ м,
 $|\eta| > 8.2$ neutrals)



Подготовка программы CMS по изучению физики тяжелых ионов



LABORATOIRE EUROPÉEN POUR LA PHYSIQUE DES PARTICULES
CERN EUROPEAN LABORATORY FOR PARTICLE PHYSICS

CERN/LHCC 2007-009
CMS TDR 8.2-Add1
5 March 2007

CMS

High Density QCD
with Heavy Ions

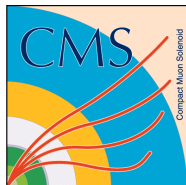
Physics Technical Design Report, Addendum 1

The CMS Collaboration

D. d'Enterria, M. Ballintijn,
M. Bedjidian, D. Hofman,
O. Kodolova, C. Loizides,
I. P. Lokthin, C. Lourenco,
C. Mironov, S. V. Petrushanko,
C. Roland, G. Roland, F. Sikler
and G. Veres (*editors*)

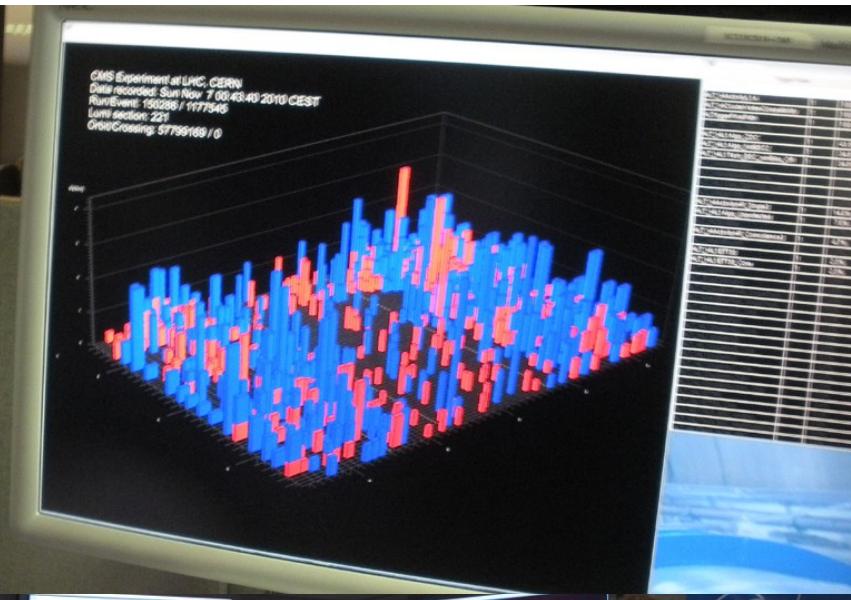
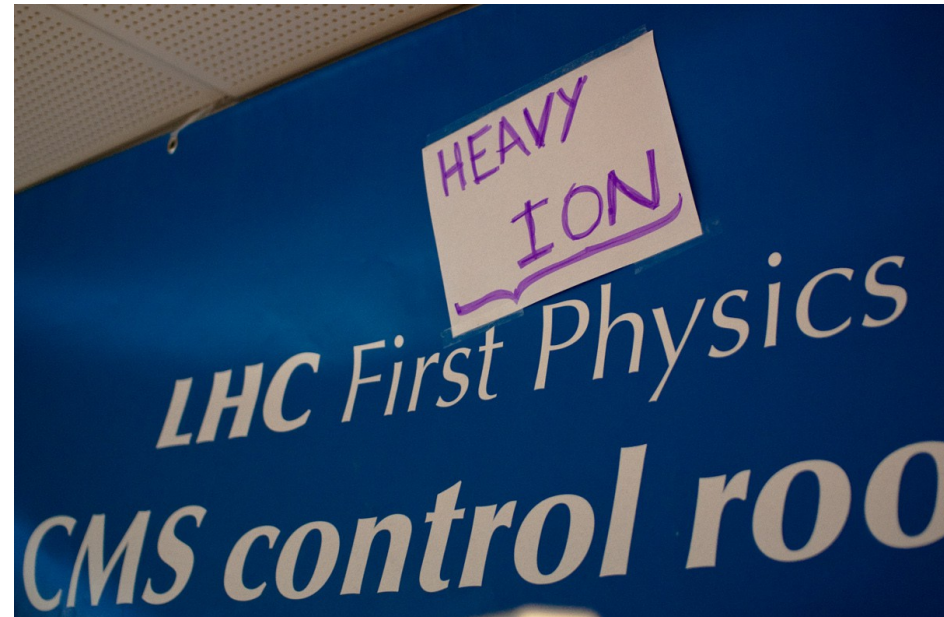
"CMS Physics Technical Design
Report: Addendum on High
Density QCD with Heavy Ions"

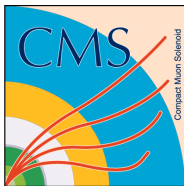
J. Phys. G 34, 2307-2455 (2007)



7 ноября 2010 года 0:27

Контрольная комната CMS





CMS – статьи по физике тяжелых ионов



136 published/submitted
Heavy-ion Physics CMS papers:

<http://cms-results.web.cern.ch/cms-results/public-results/publications/HIN/index.html>

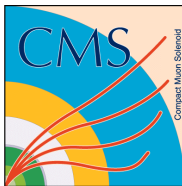


...and also > 100

Heavy-ion Physics CMS preliminary results (PAS):

<http://cms-results.web.cern.ch/cms-results/public-results/preliminary-results/HIN/index.html>





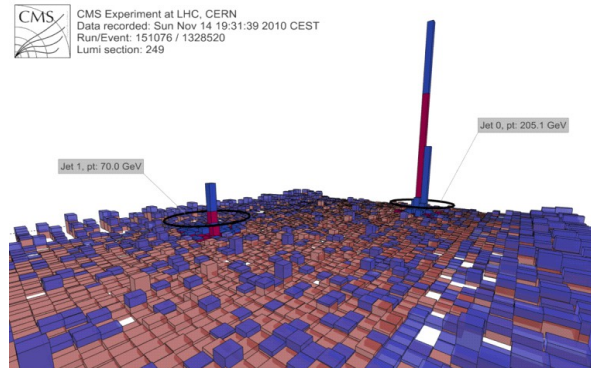
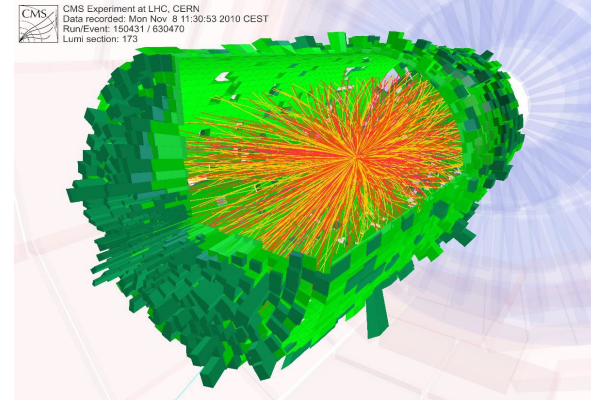
Результаты по физике тяжелых ионов



- Global picture of heavy-ion collisions
 - multiplicity
 - energy
 - flow, “ridge”, correlations, ...

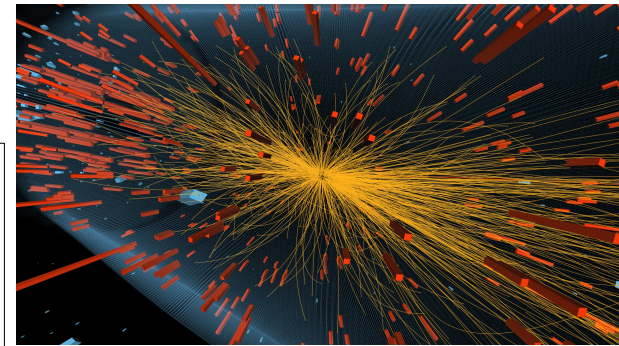
Pb+Pb collisions
2010-11: 2.76 TeV 0.16/nb
2015-18: 5.02 TeV 1.7/nb
2023-... : 5.36 TeV ...

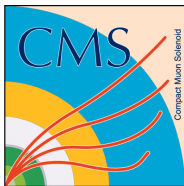
- Hard probes
 - jets
 - dimuons (quarkonia)
 - charged hadrons R_{AA} , ...



- p+p, p+Pb, Xe+Xe
 - correlations
 - flow
 - jets, ...

p+p 2.76, 5.02, 7, 8, 13 TeV
p+Pb 5.02, 8.16 TeV
Xe+Xe 5.44 TeV





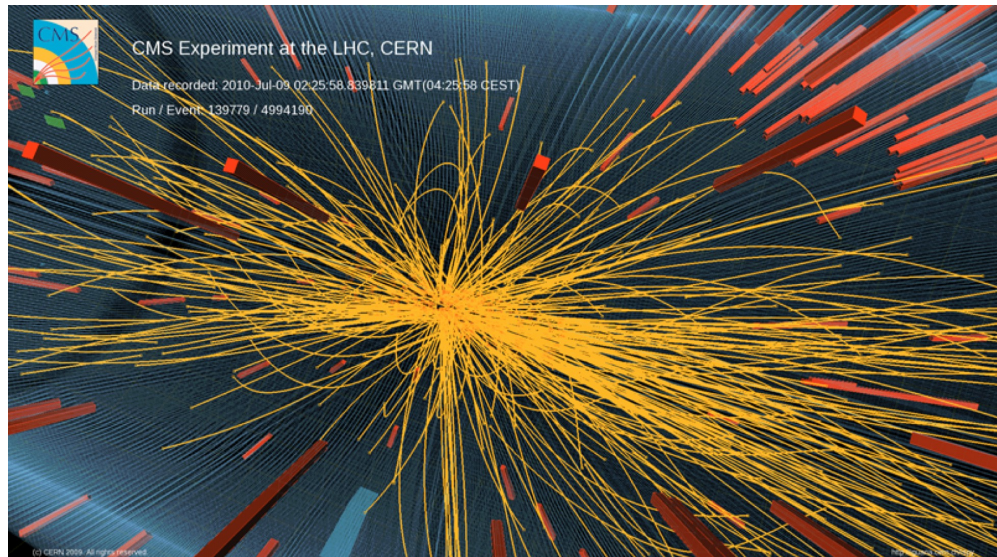
“Ридж”-эффект в столкновениях протон-протон в эксперименте CMS



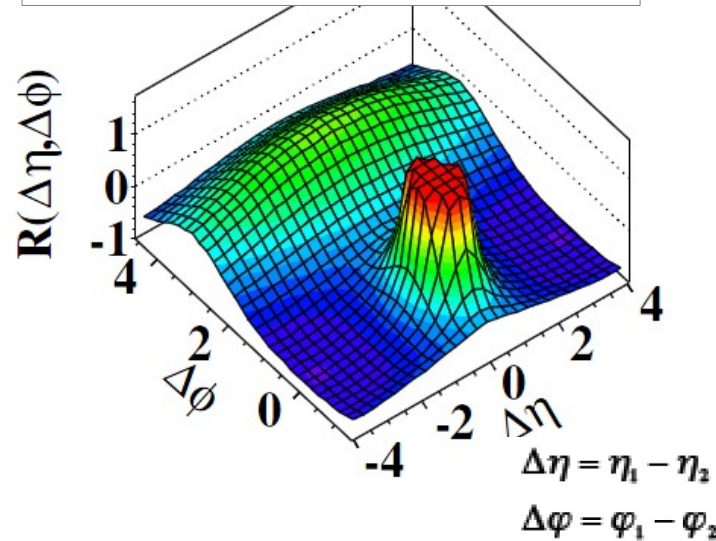
- Протон-протонные столкновения $\sqrt{s} = 7$ ТэВ с высокой множественностью $N > 110$.
- Корреляционная функция для треков с поперечным импульсом в диапазоне от 1 до 3 ГэВ/с:

JHEP 09 (2010) 091

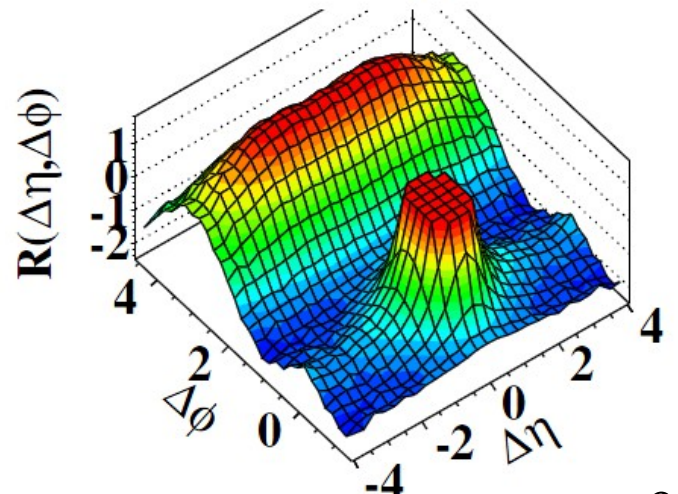
$$\begin{cases} S_N(\Delta\eta, \Delta\varphi) = \frac{1}{N(N-1)} \frac{d^2 N^{signal}}{d\Delta\eta d\Delta\varphi} \\ B_N(\Delta\eta, \Delta\varphi) = \frac{1}{N^2} \frac{d^2 N^{bkg}}{d\Delta\eta d\Delta\varphi} \end{cases}$$

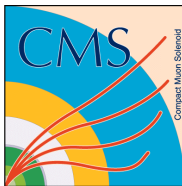


все столкновения



столкновения с $N > 110$





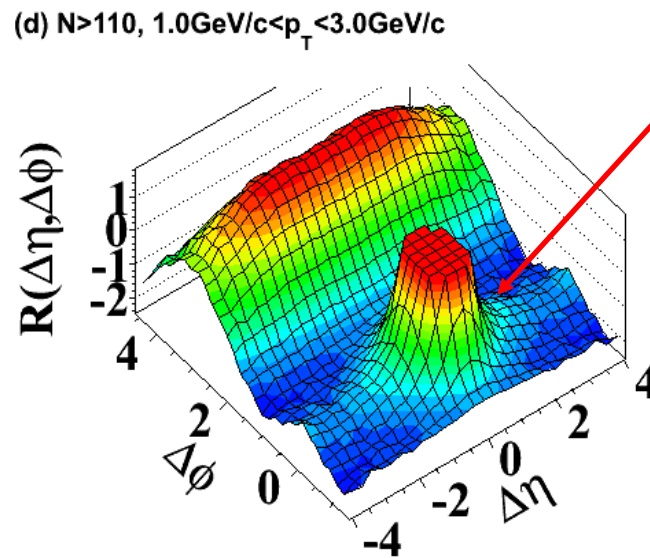
“Ридж”-эффект — везде...



Long-range ($2 < |\Delta\eta| < 4$), near-side ($\Delta\phi \approx 0$)

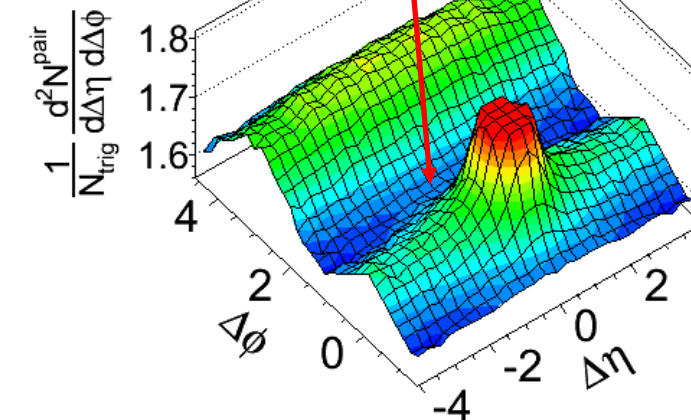
angular correlations were observed in high multiplicity p+p and p+Pb collisions (as well as in Pb+Pb)

p+p 7 TeV



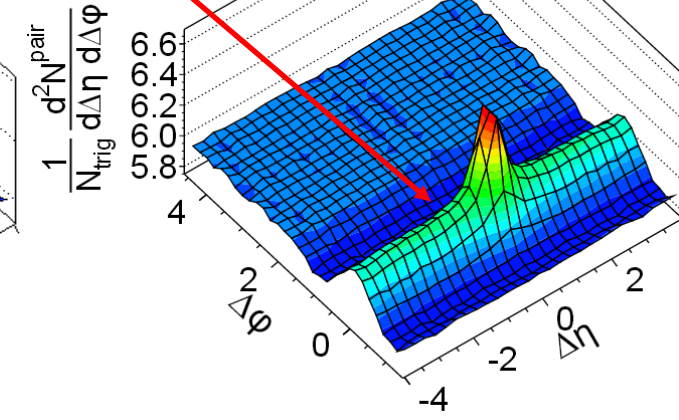
p+Pb 5.02 TeV

CMS pPb $\sqrt{s_{NN}} = 5.02 \text{ TeV}$, $N_{\text{trk}}^{\text{offline}} \geq 110$
 $1 < p_T < 3 \text{ GeV}/c$



Pb+Pb 2.76 A TeV, 0-5%

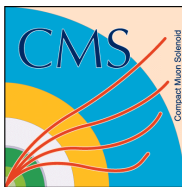
(a) CMS $\int L dt = 3.1 \mu\text{b}^{-1}$
PbPb $\sqrt{s_{NN}} = 2.76 \text{ TeV}$, 0-5% centrality



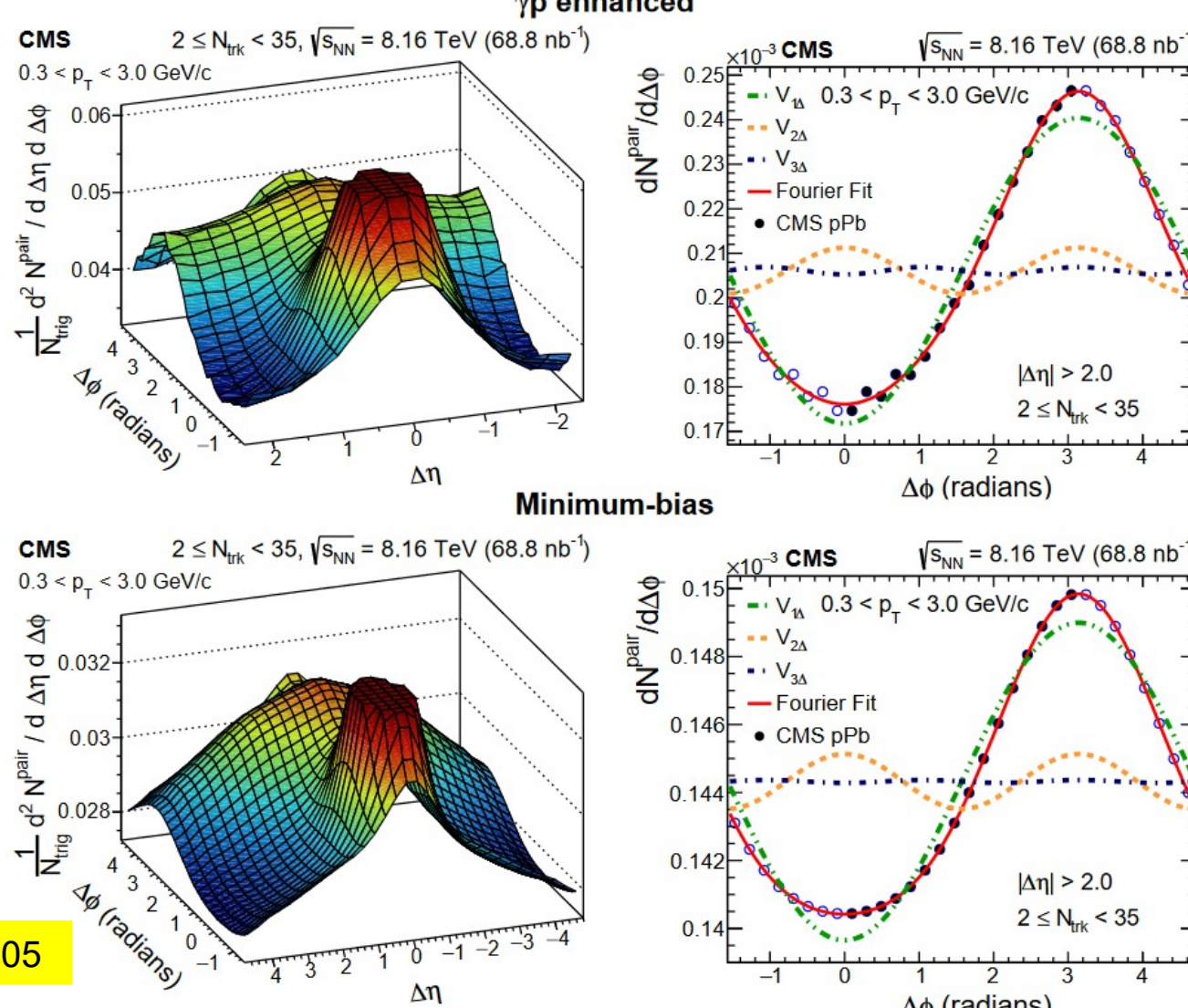
JHEP 09 (2010) 091

PLB 718 (2013) 795

JHEP 07 (2011) 076



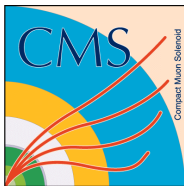
$\gamma+p$ взаимодействия в ультра-периферических столкновениях $p+Pb$



PLB 844 (2023) 137905

The single particle flow coefficient $v_2(p_T)$ is larger for γp -enhanced events than for minimum-bias collisions. But we don't see "ridge" here!

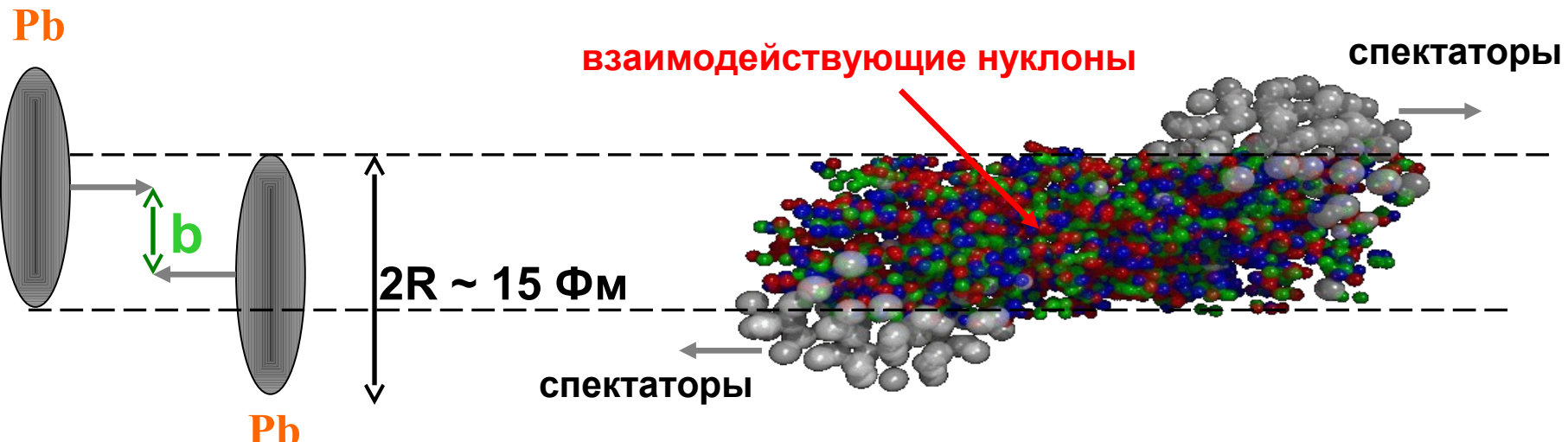
Сергей Петрушинко (CMS Collaboration) Физика тяжелых ионов на CMS



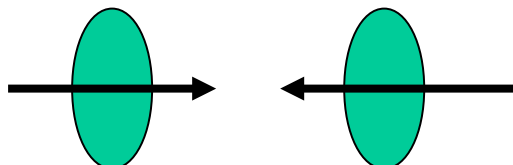
Кварк-глюонная плазма



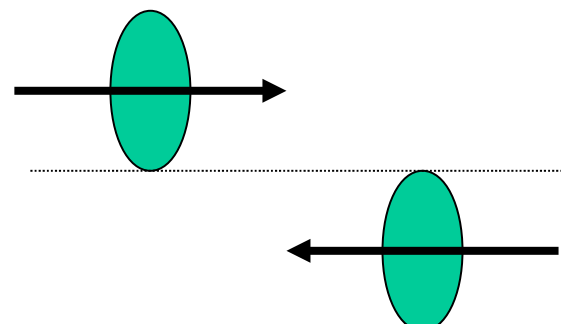
В релятивистских соударениях тяжелых ионов возможно формирование сверхплотного состояния КХД-материи в квазимакроскопических объемах (по сравнению с характерными адронными масштабами).



Центральные столкновения,
прицельный параметр $b = 0$

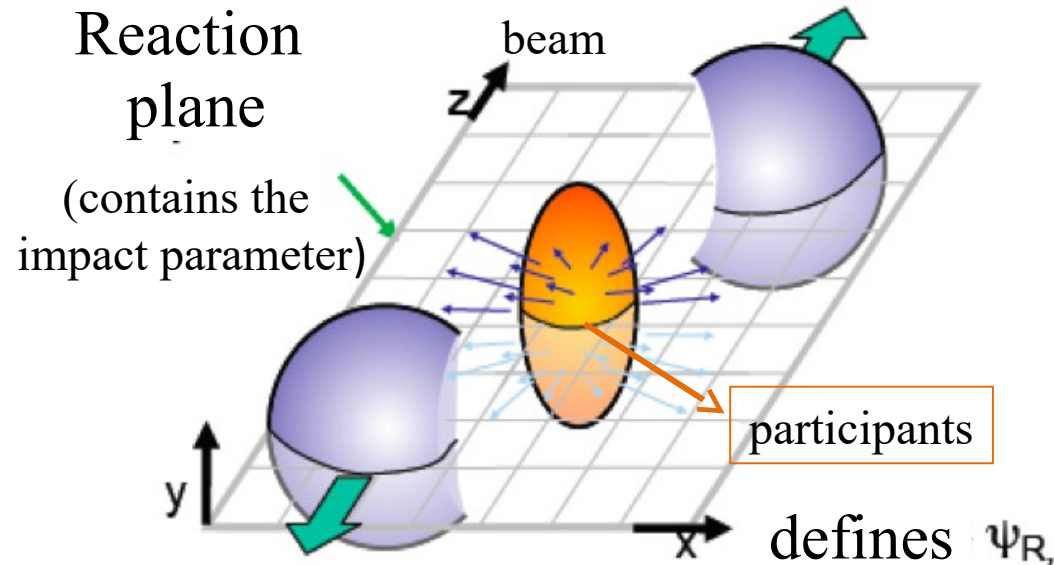


Периферийные столкновения,
прицельный параметр $b \approx 2R$

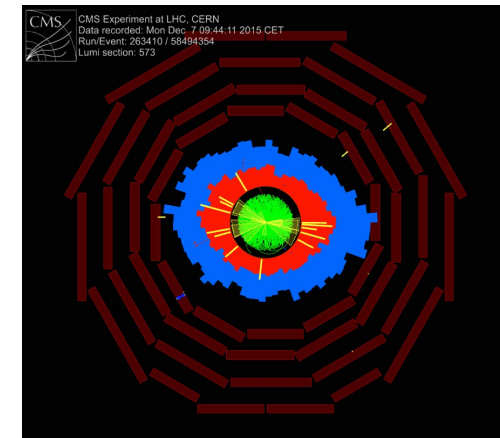
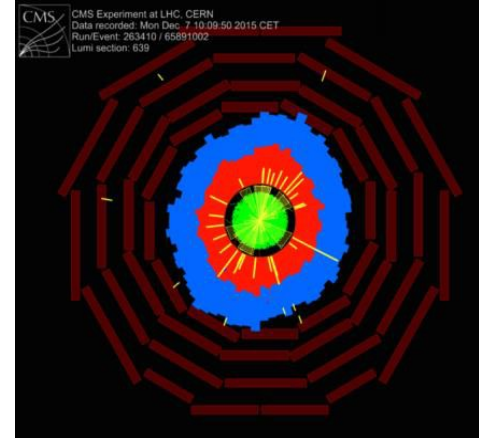
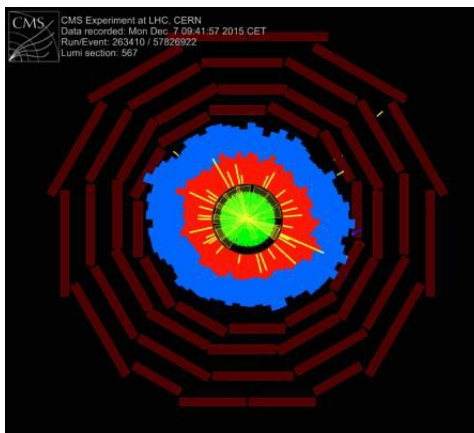




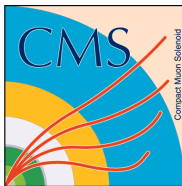
Азимутальная анизотропия



Non-central Pb+Pb “screen shots” from CMS Event Monitor:
Electromagnetic, Hadronic Energy and charged particles tracks



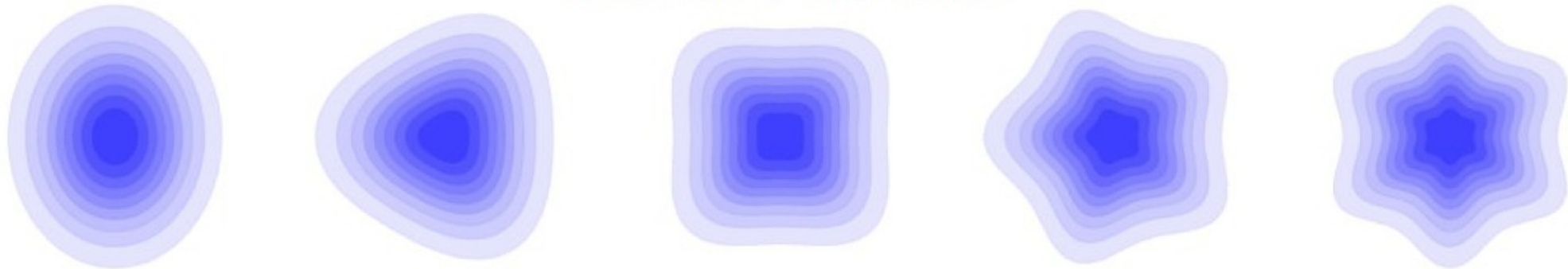
Collective motion is observed in the event azimuthal distributions



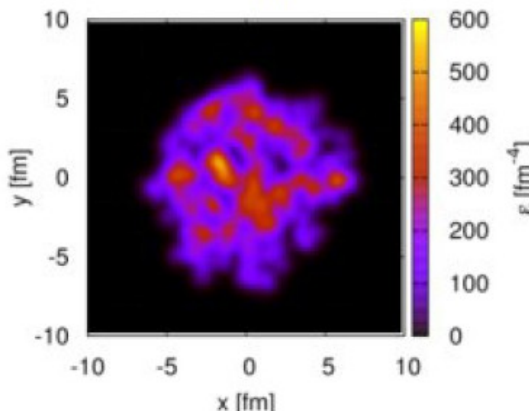
Потоки гармоник $v_2, v_3 \dots$



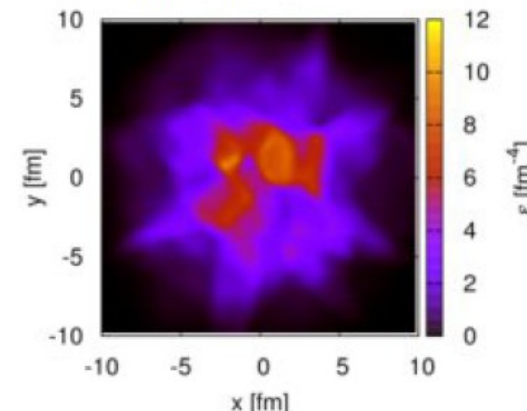
Ненулевые гармоники v_2, v_3 и т.д. несут информацию об условиях пространственно-временной эволюции ядерной материи и флюктуациях ее начального состояния.



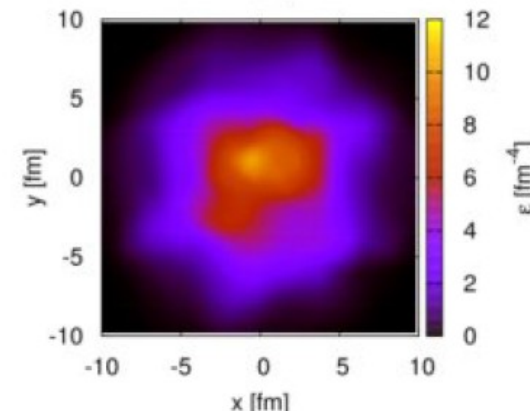
Начальная
стадия

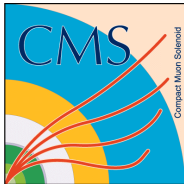


Идеальная
гидродинамика



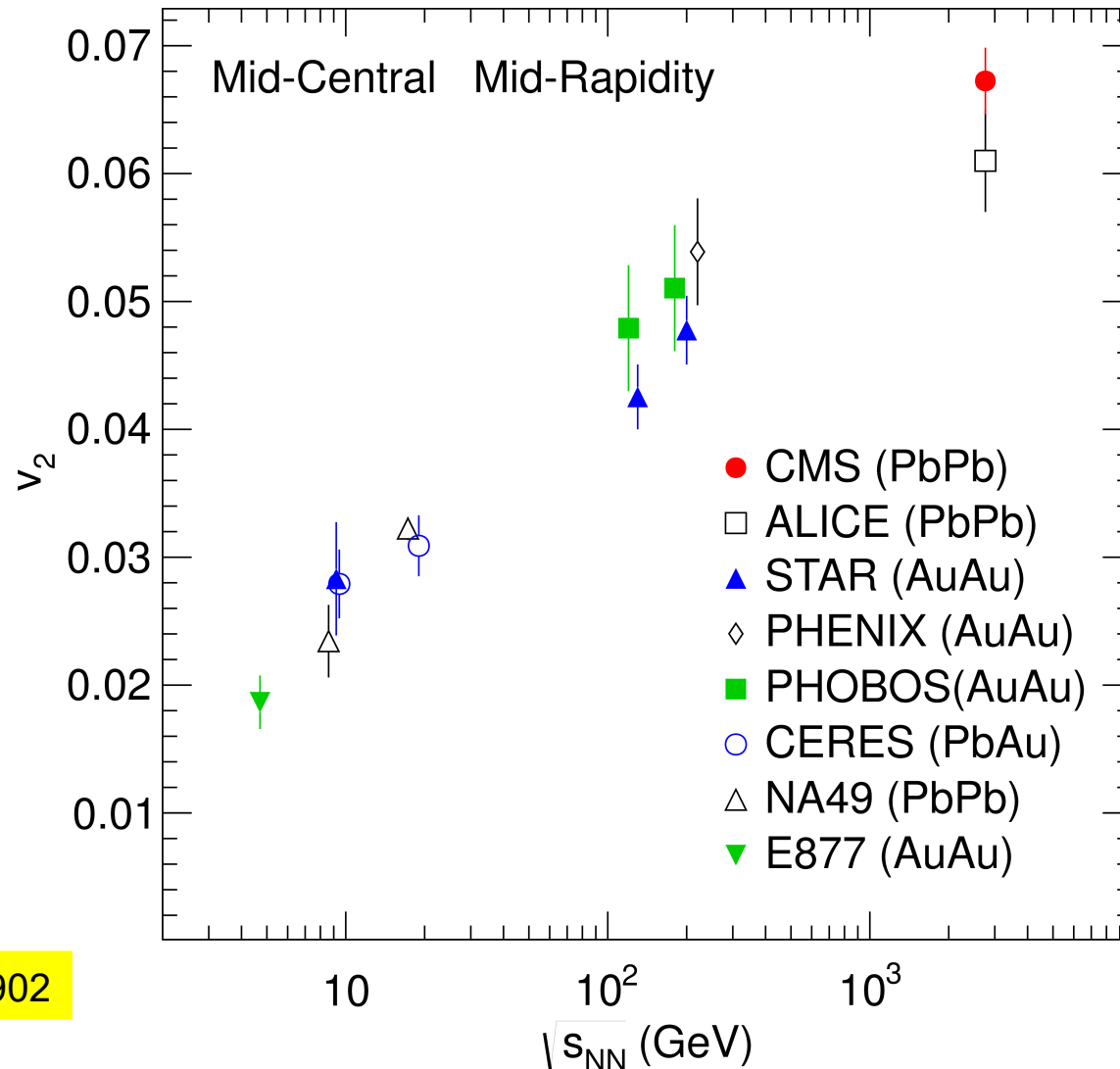
Гидродинамика
с вязкостью



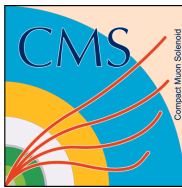


Интегральная v_2 –

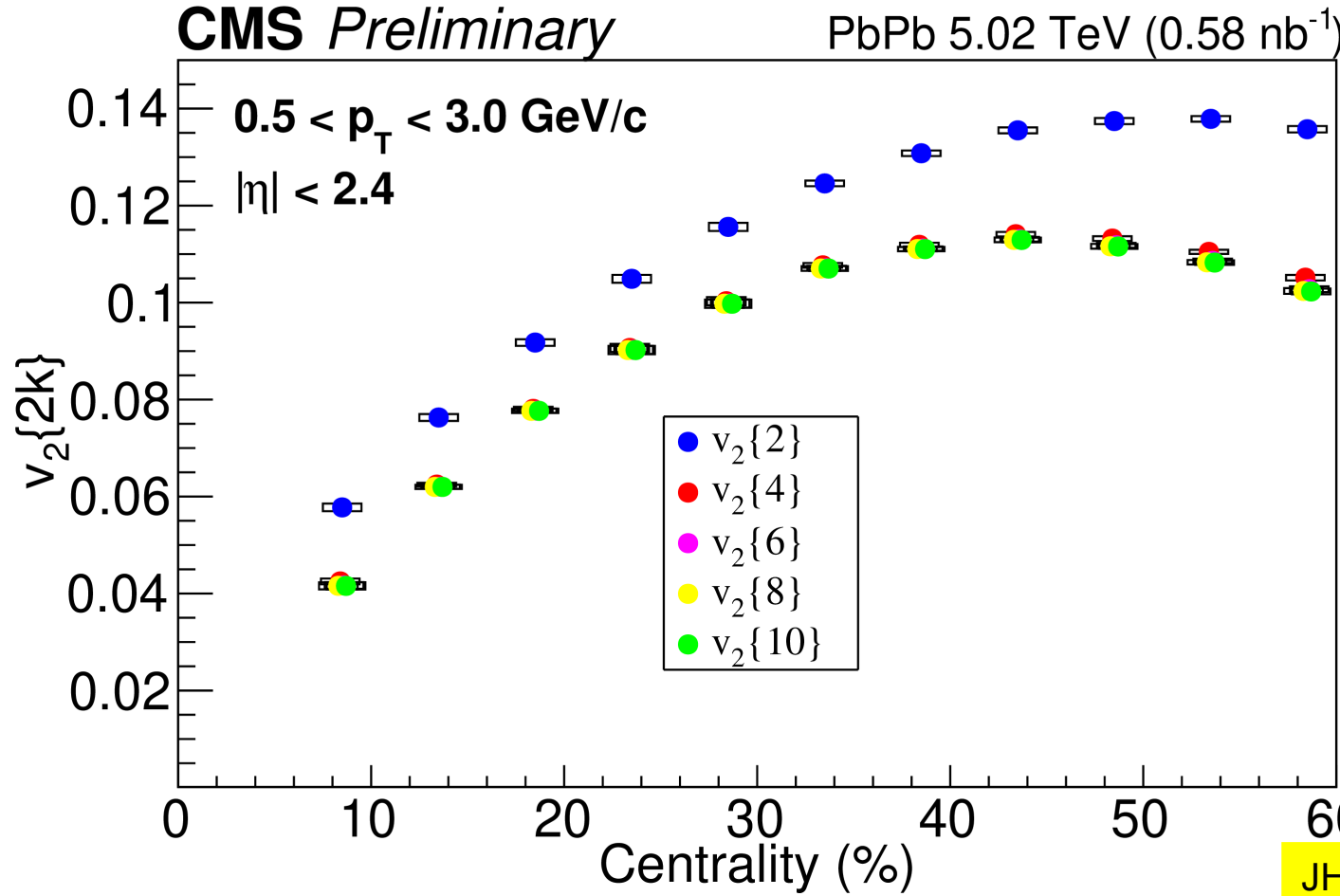
результат для LHC от CMS



15-30% increase in integral v_2 from top RHIC energy to LHC

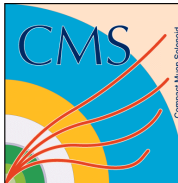


Кумулянты эллиптического потока $v_2\{2k\}$ в Pb+Pb соударениях



$v_2\{2\} > v_2\{4\} \gtrsim v_2\{6\} \gtrsim v_2\{8\} \gtrsim v_2\{10\}$ ($v_2\{10\}$ is the first time ever)

The subtle differences in the higher order harmonics allow for a precise determination of the underlying hydrodynamics and what condition prevail before the onset of hydrodynamics.

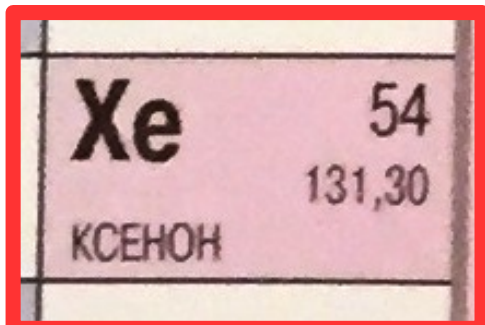
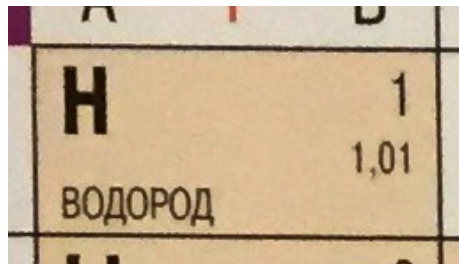


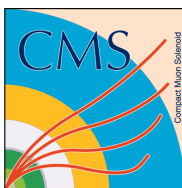
Xe+Xe как “мост” между p+p и Pb+Pb



ПЕРИОДИЧЕСКАЯ СИСТЕМА ЭЛЕМЕНТОВ Д. И. МЕНДЕЛЕЕВА

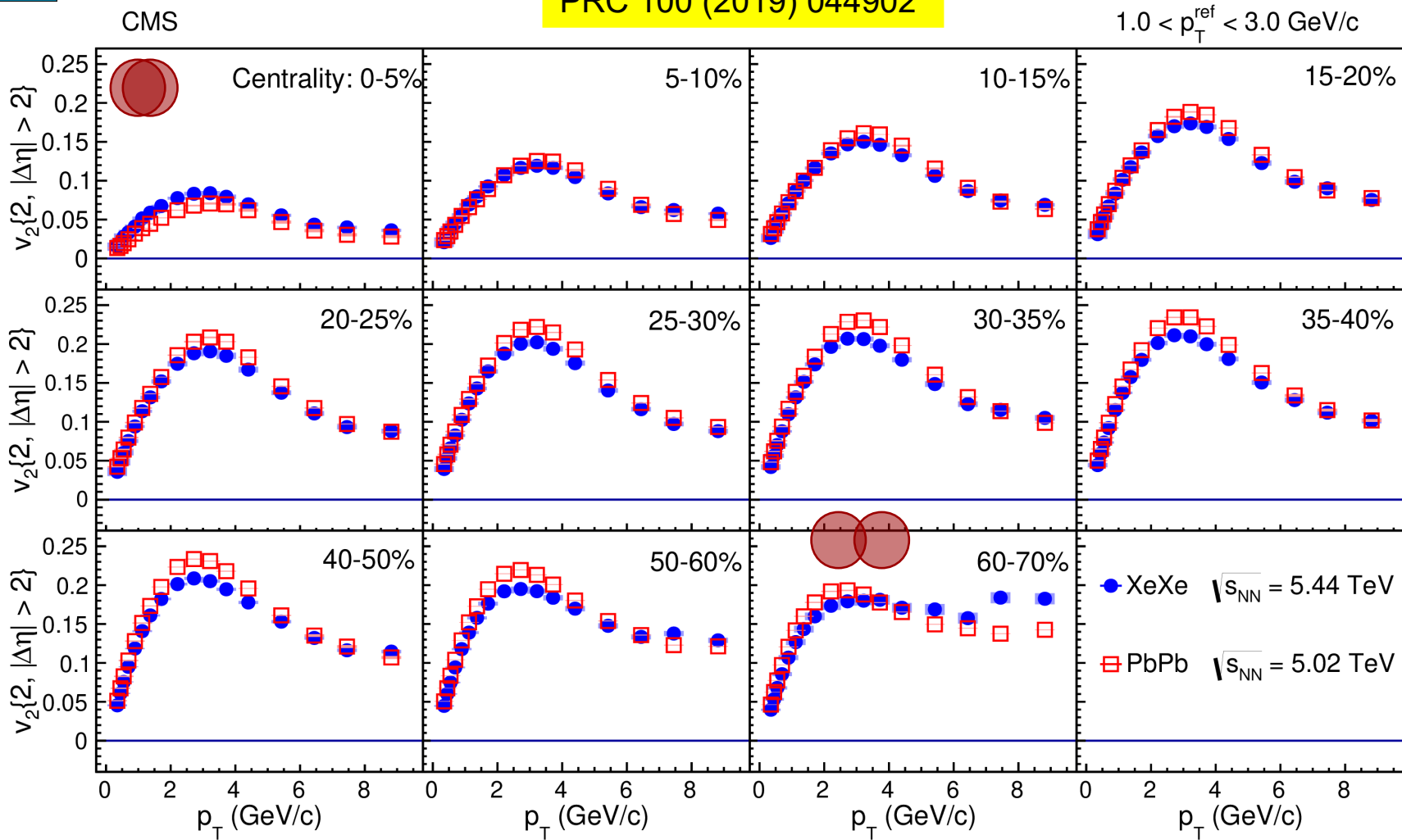
| | | ГРУППЫ ЭЛЕМЕНТОВ | | | | | | | | | | | | | | | | | | | | | | | | | | | | |
|-------------------------------|------|------------------|--------------|--------------|--------------|-------------------------------|--------------|-----------------|--------------|-------------------------------|--------------|------------------|--------------|-------------------------------|--------------|-----------------|--------------|----|--------------|----|-------------------------------|---|--------------------------|----|----------------|----|--------------|----|--------------|-----------|
| ПЕРИОДЫ | РЯДЫ | A | I | B | A | II | B | A | III | B | A | IV | B | A | V | B | A | VI | B | A | VII | B | VIII | A | | | | | | |
| 1 | 1 | H | 1 | | | | | | | | | | | | | | (H) | | | | | МЕНДЕЛЕЕВ Дмитрий Иванович (8.II.1834–2.II.1907) Русский ученый-энциклопедист. В 1869–1871 гг. изложил основы учения о периодичности, открыл периодический закон и разработал периодическую систему химических элементов. На основе системы впервые предсказал (1870) существование и свойства нескольких еще не открытых элементов. | He 2 4,00 ГЕЛИЙ | | | | | | | |
| 2 | 2 | Li | 3 6,94 | Be | 4 9,01 | B | 5 10,81 | C | 6 12,01 | N | 7 14,01 | O | 8 16,00 | F | 9 19,00 | | | | | | Ne 10 20,18 НЕОН | | | | | | | | | |
| 3 | 3 | Na | 11 22,99 | Mg | 12 24,31 | Al | 13 26,98 | Si | 14 28,09 | P | 15 30,97 | S | 16 32,06 | Cl | 17 35,45 | | | | | | Ar 18 39,95 АРТОН | | | | | | | | | |
| 4 | 4 | K | 19 39,10 | Ca | 20 40,08 | Sc | 21 44,96 | Ti | 23 47,90 | V | 24 50,94 | Cr | 25 54,94 | Mn | 26 55,85 | Fe | 27 58,93 | Co | 28 58,70 | Ni | | | | | | | | | | |
| | 5 | 29 63,55 | Cu | 30 65,39 | Zn | Ga | 31 69,72 | Ge | 32 72,59 | As | 33 74,92 | Se | 34 78,96 | Br | 35 79,90 | | | | | | Kr 36 83,80 КРИПТОН | | | | | | | | | |
| 5 | 6 | Rb | 37 85,47 | Sr | 38 87,62 | Y | 39 88,91 | Zr | 41 91,22 | Nb | 42 95,94 | Mo | 43 98,91 | Tc | 44 101,07 | Ru | 45 102,91 | Rh | 46 106,42 | Pd | | | | | | | | | | |
| | 7 | 47 107,87 | Ag | 48 112,41 | Cd | In | 49 114,82 | Sn | 50 118,71 | Sb | 51 121,75 | Te | 52 127,60 | I | 53 126,90 | | | | | | Xe 54 131,30 КОСЕНОН | | | | | | | | | |
| 6 | 8 | Cs | 55 132,91 | Ba | 56 137,33 | La* | 57 138,91 | Hf | 72 178,49 | Ta | 74 180,95 | W | 75 183,84 | Re | 76 186,21 | Os | 77 190,23 | Ir | 78 192,22 | Pt | | | | | | | | | | |
| | 9 | 79 196,97 | Au | 80 200,59 | Hg | Tl | 81 204,38 | Pb | 82 207,20 | Bi | 83 208,98 | Po | 84 [209] | At | 85 [210] | | | | | | Rn 86 [222] РАДОН | | | | | | | | | |
| 7 | 10 | Fr | 87 [223] | Ra | 88 [226] | Ac** | 89 [227] | Rf | 105 [261] | Db | 106 [262] | Sg | 107 [263] | Bh | 108 [265] | Hs | 109 [268] | Mt | 110 [271] | Ds | | | | | | | | | | |
| ВЫСШИЕ ОКСИДЫ | | R ₂ O | | RO | | R ₂ O ₃ | | RO ₂ | | R ₂ O ₅ | | RO ₃ | | R ₂ O ₇ | | RO ₄ | | | | | | | | | | | | | | |
| ЛЕТУЧИЕ ВОДОРОДНЫЕ СОЕДИНЕНИЯ | | | | | | | | RH ₄ | | RH ₃ | | H ₂ R | | HR | | | | | | | | | | | | | | | | |
| ЛАНТАНОИДЫ | | Ce | 58 140,12 | Pr | 59 140,91 | Nd | 60 144,24 | Pm | 61 [145] | Sm | 62 150,36 | Eu | 63 151,96 | Gd | 64 157,25 | Tb | 65 158,93 | Dy | 66 162,50 | No | 67 164,93 | Fr | 68 167,26 | Tm | 69 168,93 | Yb | 70 173,04 | Lu | 71 174,97 | ЛЮТЕЦИЙ |
| АКТИНОИДЫ | | Th | 90 232,03 | Pa | 91 231,04 | U | 92 238,03 | Np | 93 [237] | Pu | 94 [244] | Am | 95 [243] | Cm | 96 [247] | Bk | 97 [247] | Cf | 98 [251] | Es | 99 [252] | Fm | 100 [257] | Ma | 101 [258] | No | 102 [259] | Lr | 103 [262] | ЛЮРЕНСКИЙ |
| РЯД АКТИВНОСТИ МЕТАЛЛОВ | | | | | Li | Cs | Rb | K | Ba | Sr | Ca | Na | Mg | Be | Al | Mn | Zn | Cr | Fe | Cd | Co | Ni | Sn | Pb | H ₂ | Cu | Hg | Ag | Pt | Au |
| РЯД НАПРЯЖЕНИЙ МЕТАЛЛОВ | | | | | Li | Rb | K | Ba | Sr | Ca | Na | Mg | Al | Mn | Zn | Cr | Fe | Cd | Co | Ni | Sn | Pb | H ₂ | Sb | Cu | Hg | Ag | Pt | Au | |





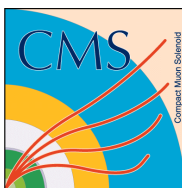
v_2 Xe+Xe vs. Pb+Pb

PRC 100 (2019) 044902



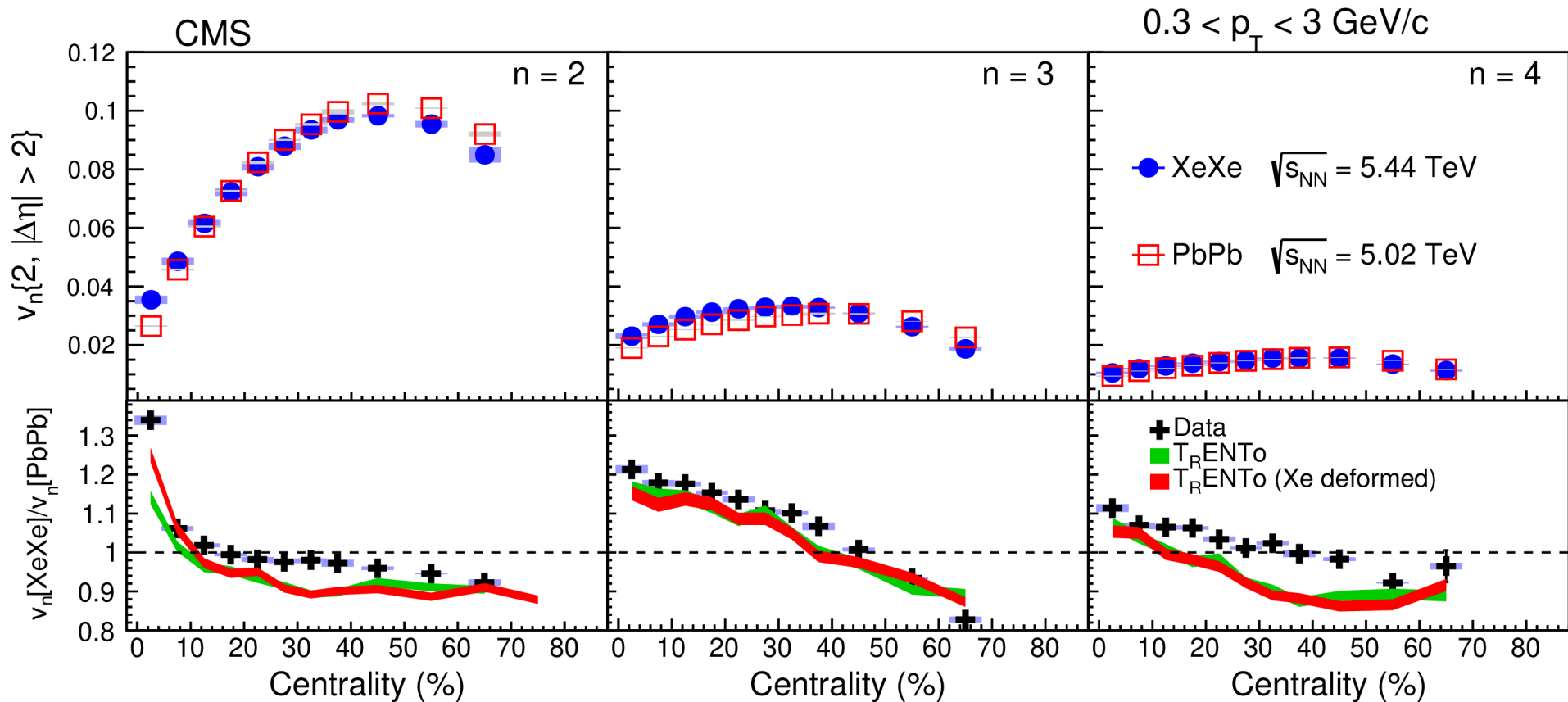
The magnitude of the v_2 coefficients for Xe+Xe collisions are larger than those found in Pb+Pb collisions for the most central collisions. This is attributed to a larger fluctuation component in the lighter colliding system.

Сергей Петрушинко (CMS Collaboration) Физика тяжелых ионов на CMS

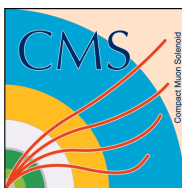


$v_{2, 3, 4}$ Xe+Xe vs. Pb+Pb

PRC 100 (2019) 044902



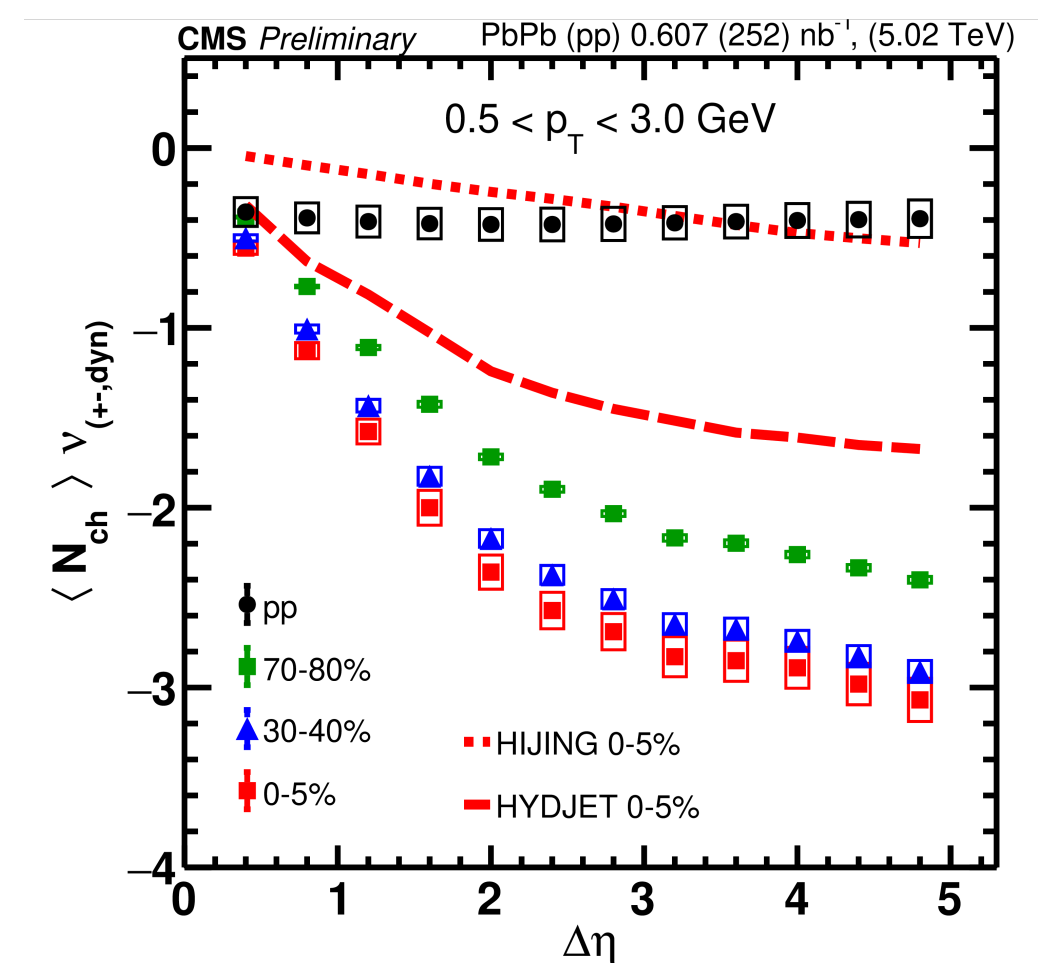
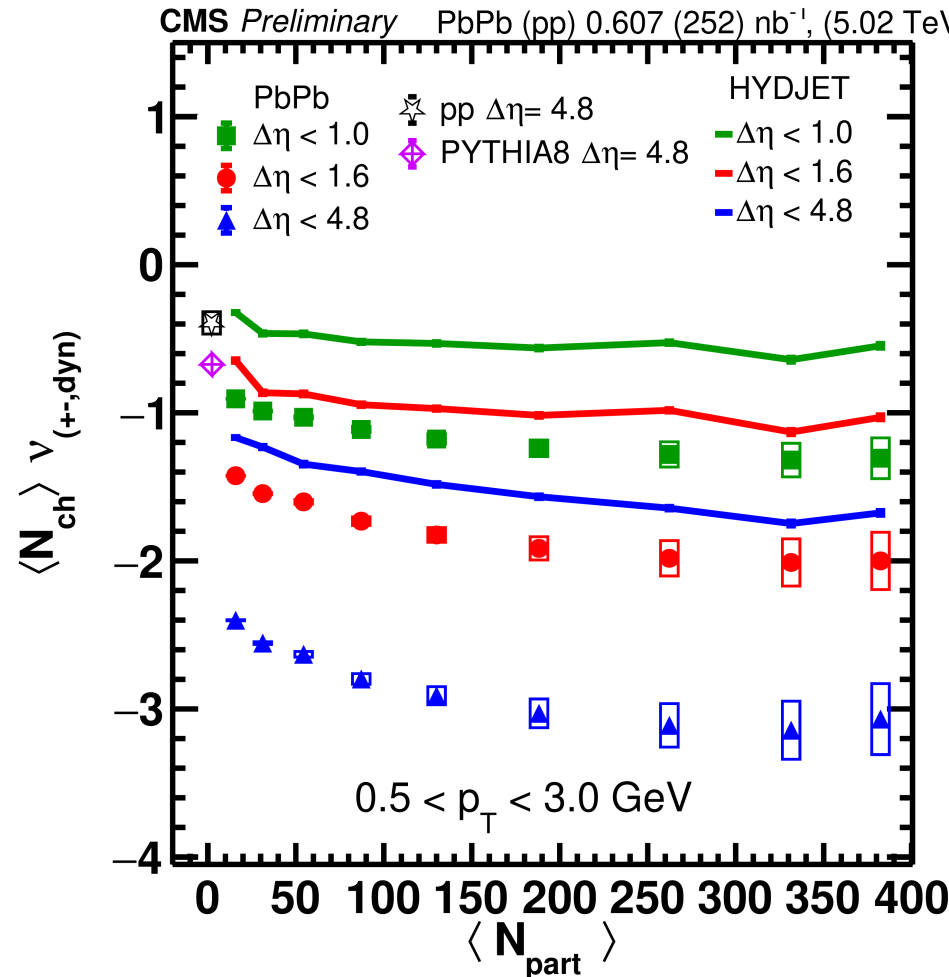
Hydrodynamic models that consider the Xe nuclear deformation are able to better describe the $v_2[XeXe]/v_2[PbPb]$ ratio in central collisions than those assuming a spherical Xe shape.



Зарядовые флюктуации в Pb-Pb соударениях



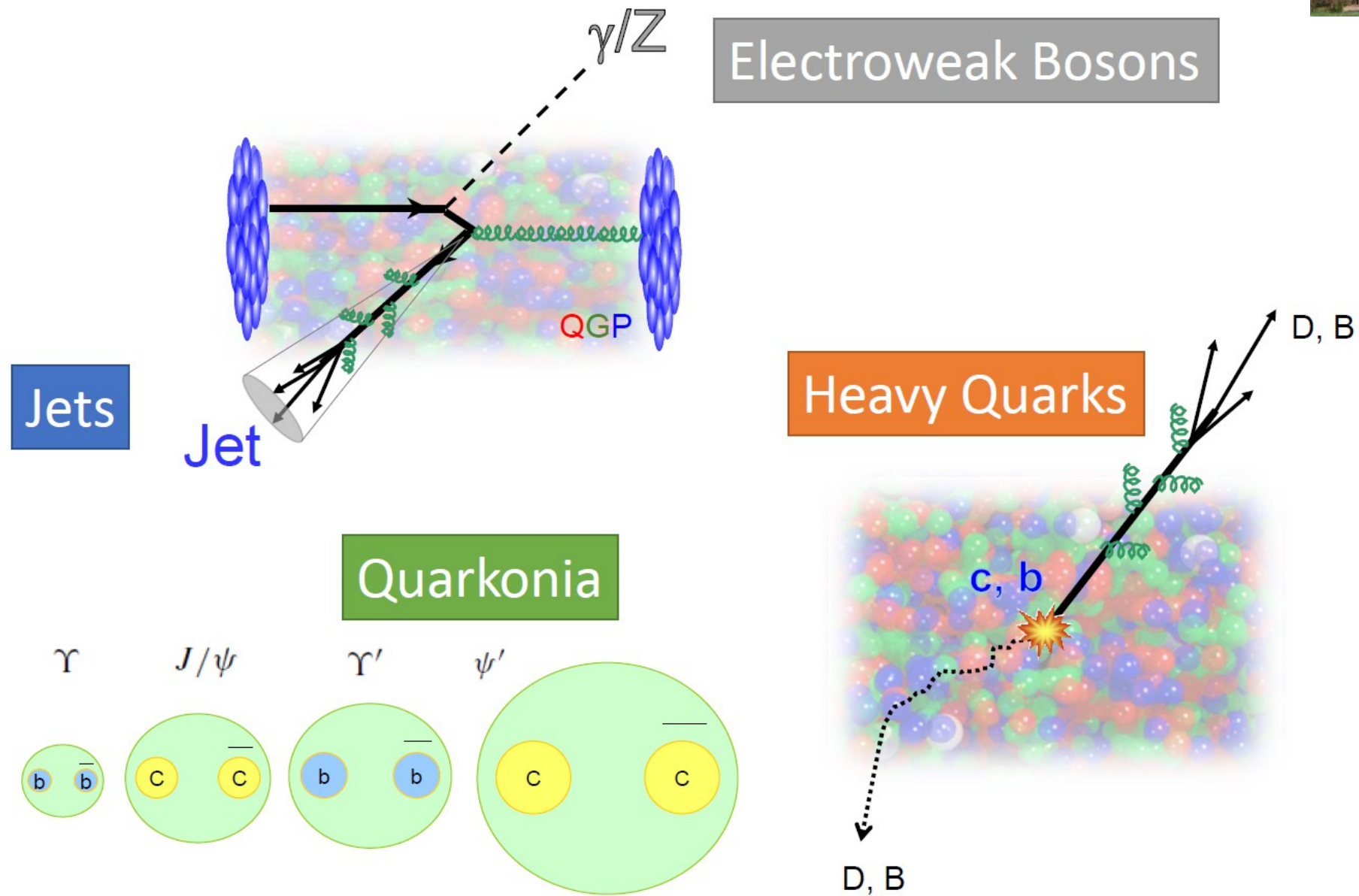
CMS-PAS-HIN-22-005

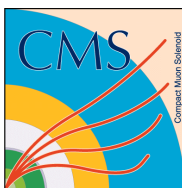


Net-charge fluctuations differ between QGP and hadron gas phase.
Increasing centrality approaches QGP prediction faster.

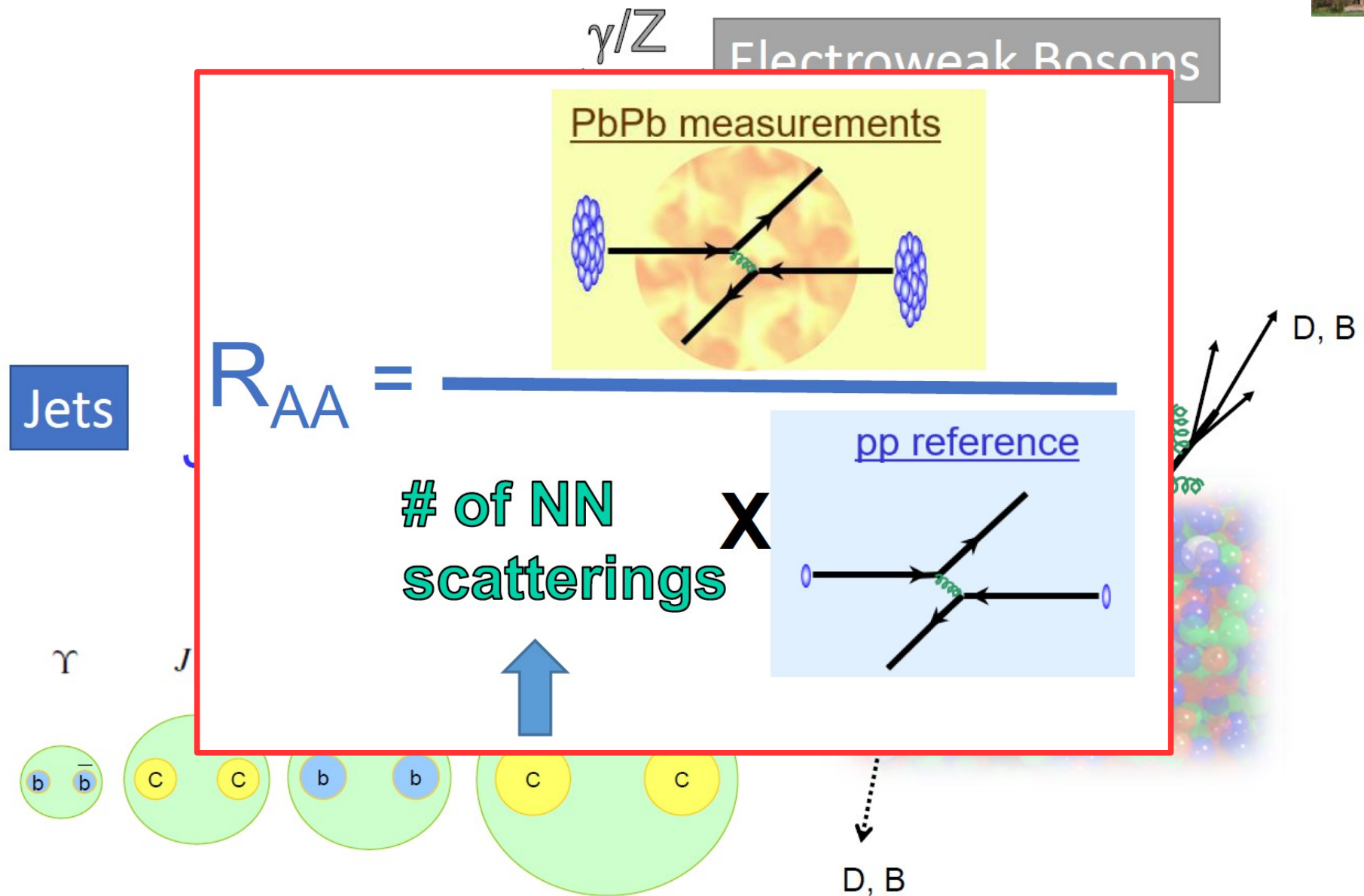


Жесткие тесты кварк-глюонной плазмы





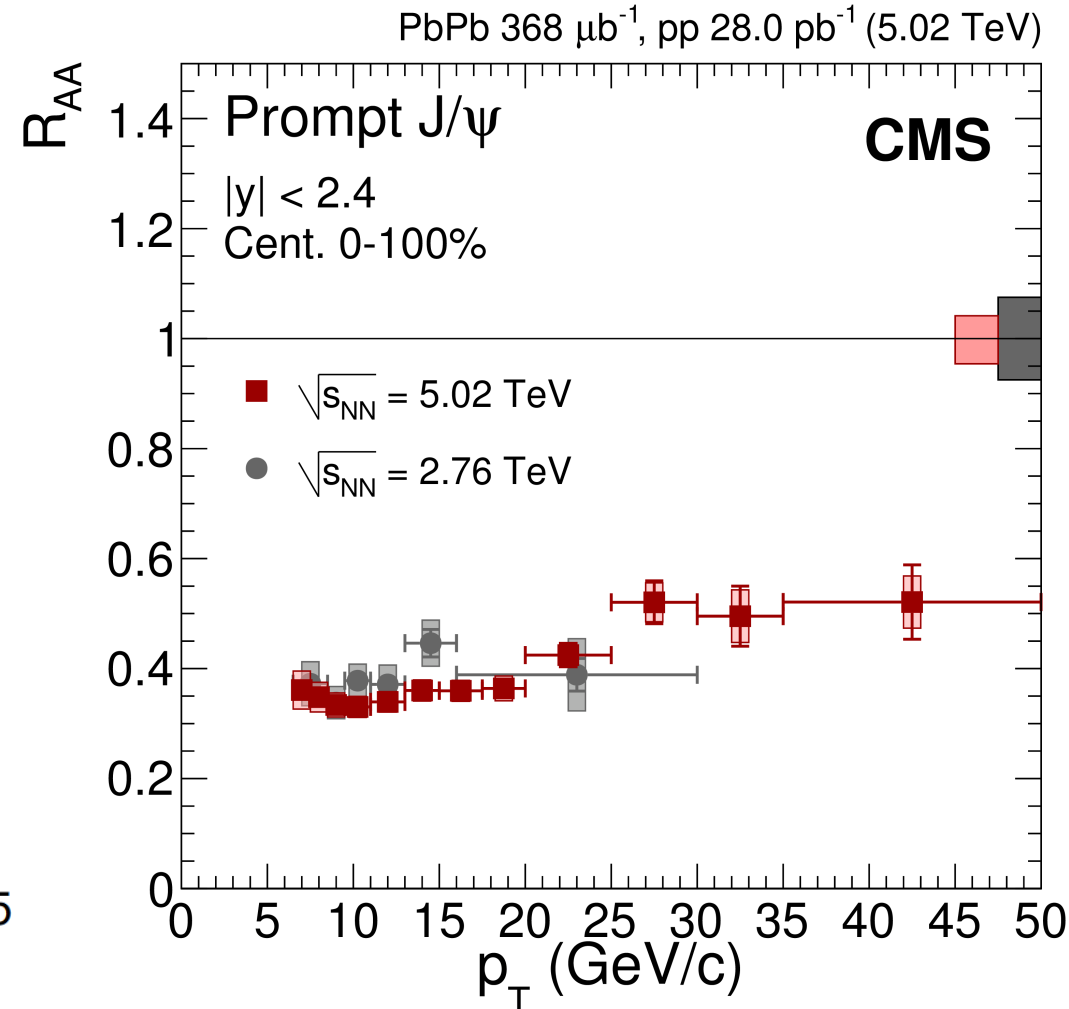
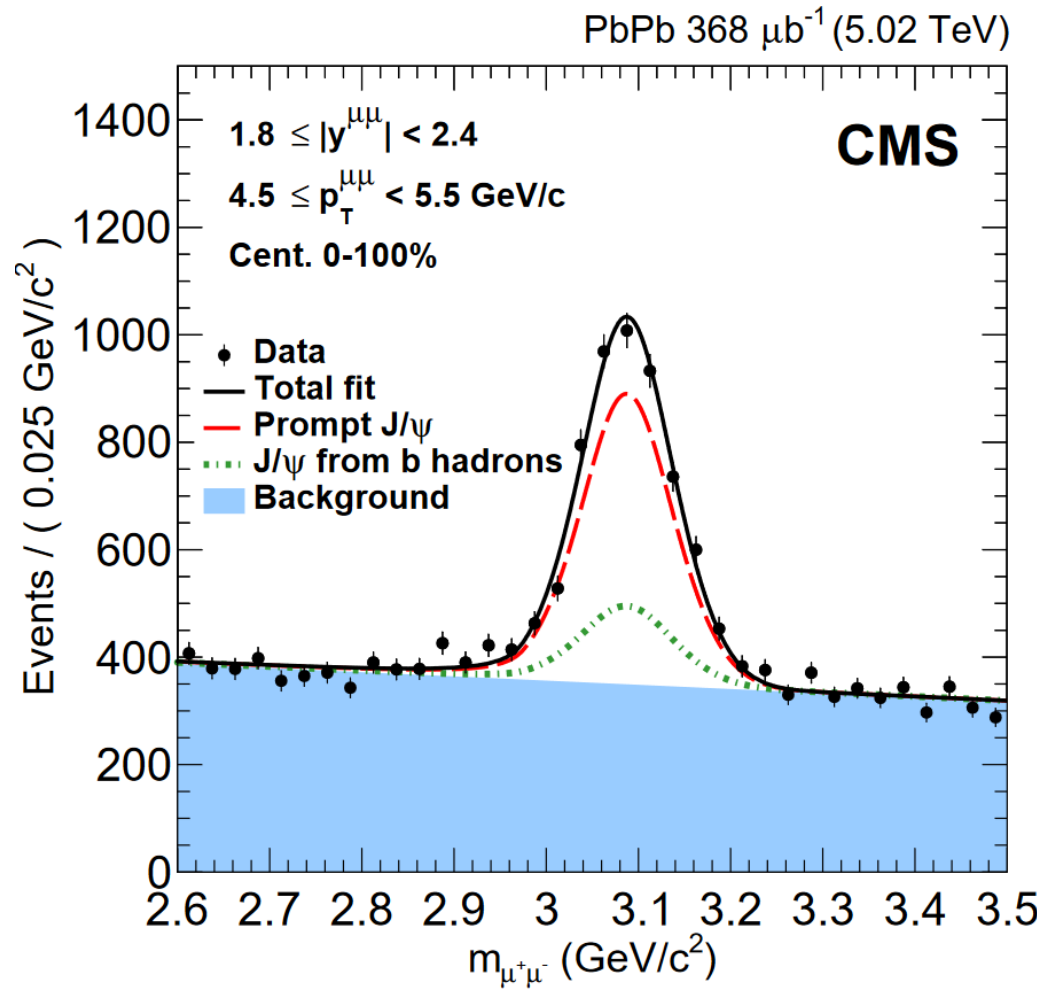
Жесткие тесты кварк-глюонной плазмы



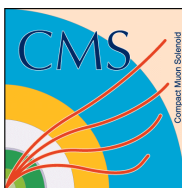


Подавление J/ψ в Pb+Pb

EPJ C 78 (2018) 509

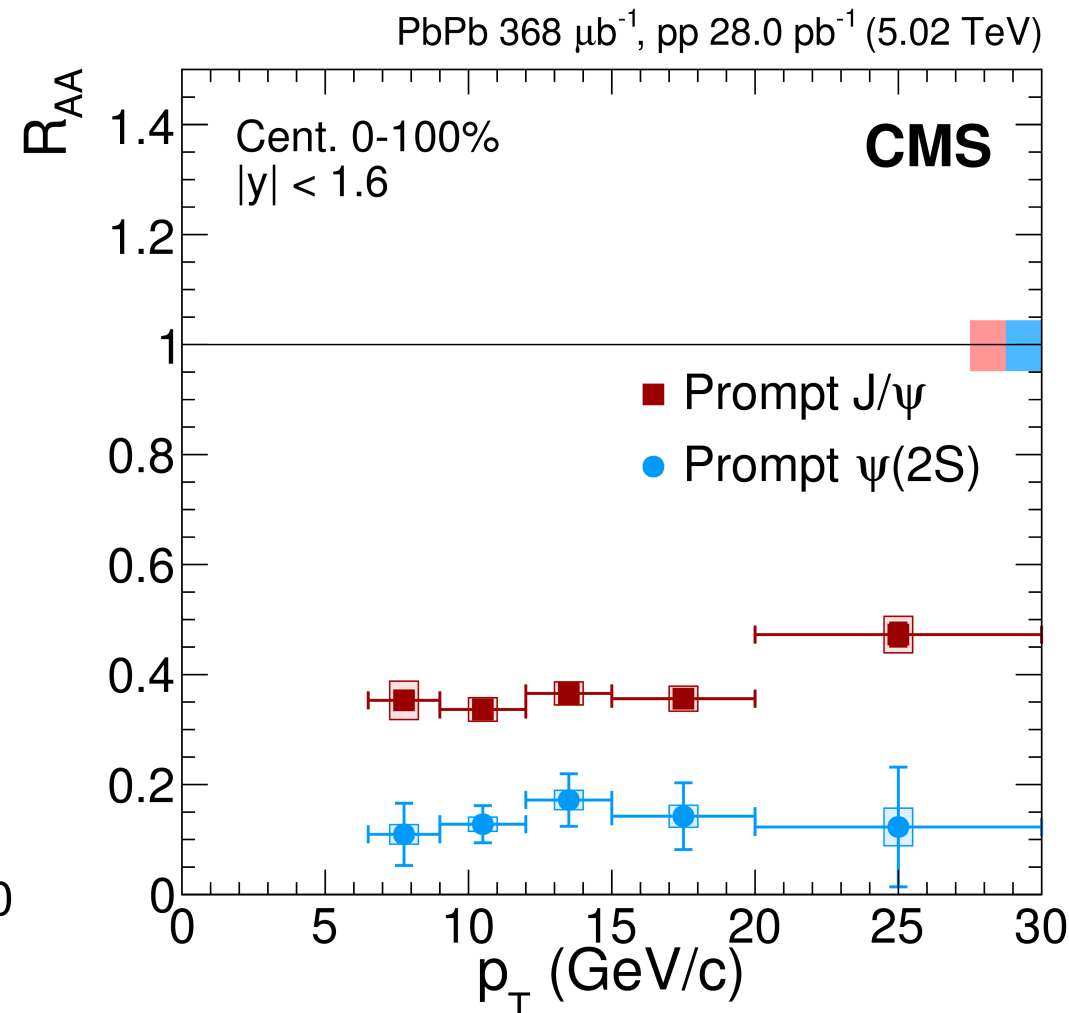
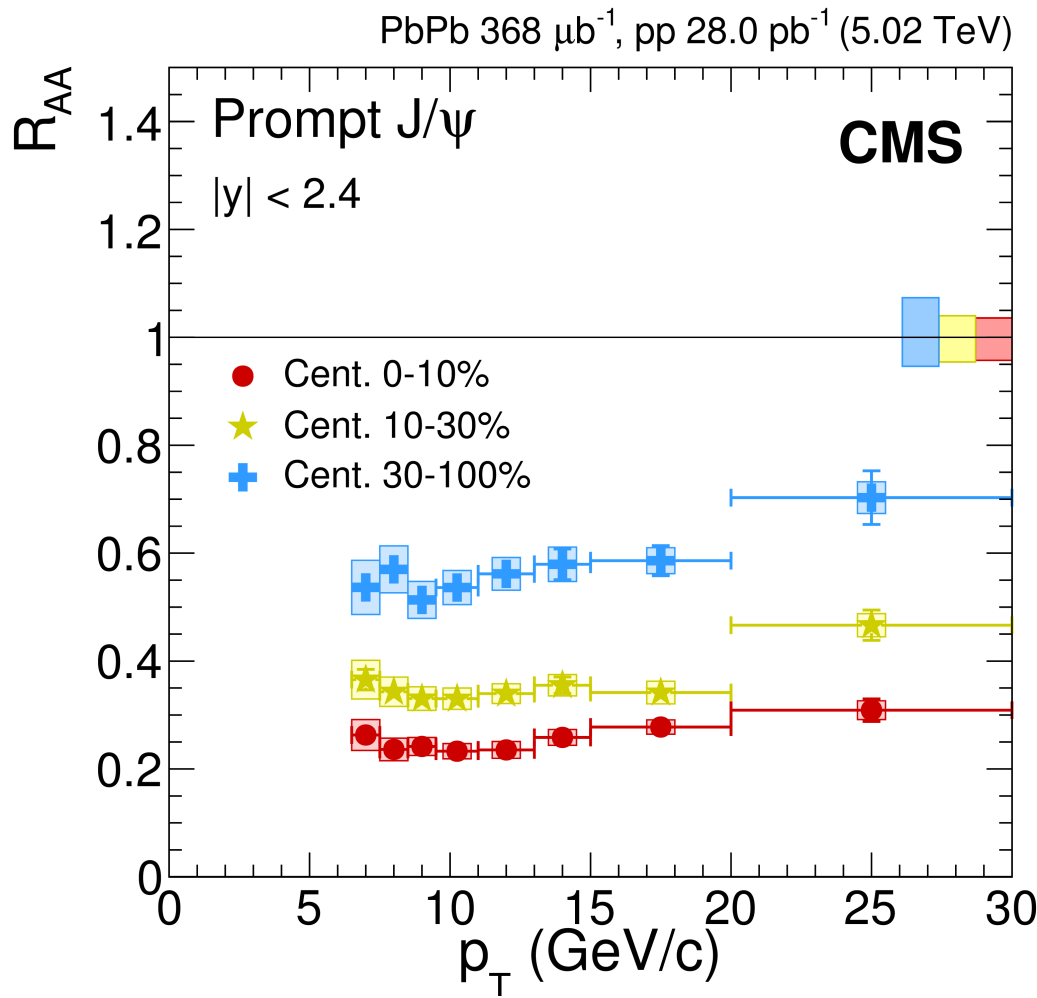


**J/ψ mesons are observed to be suppressed
(similarly in 2.76 and 5.02 TeV)**

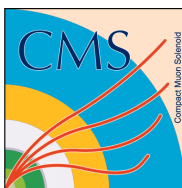


Подавление J/ψ и ψ(2S) в Pb+Pb

EPJ C 78 (2018) 509

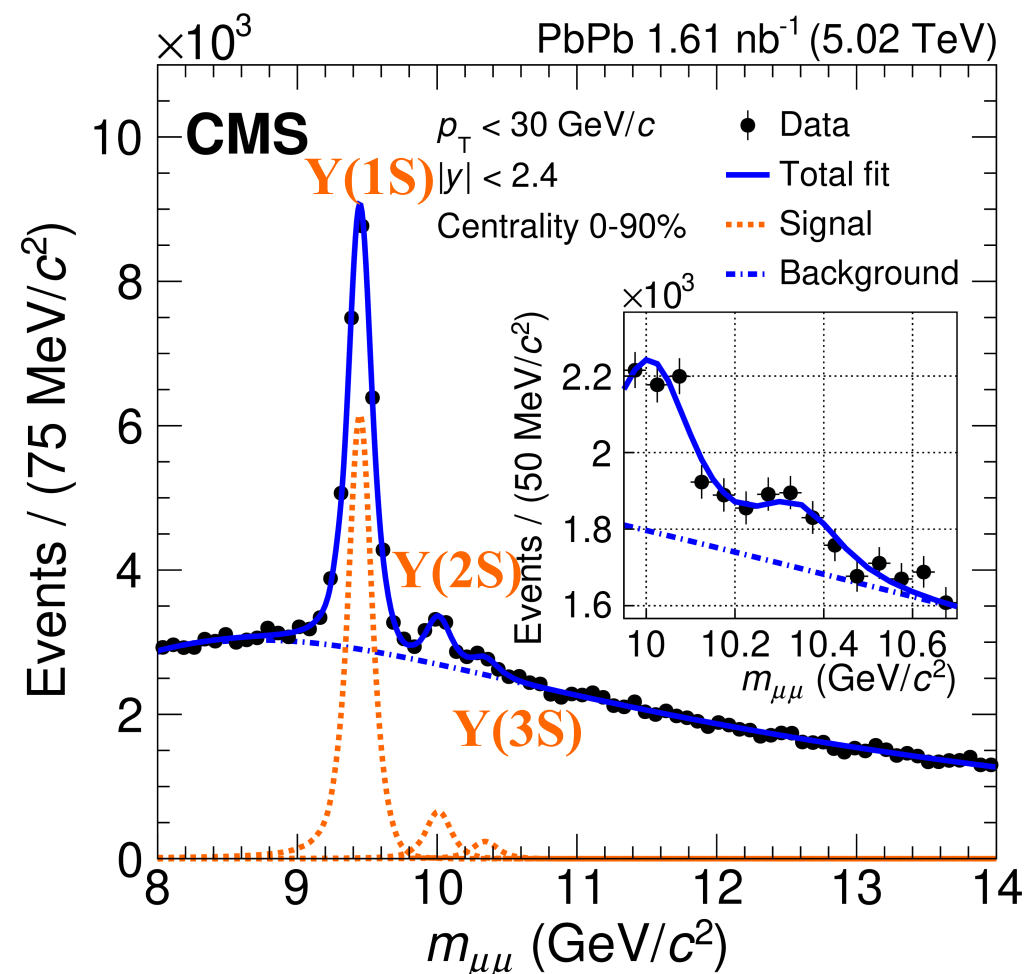
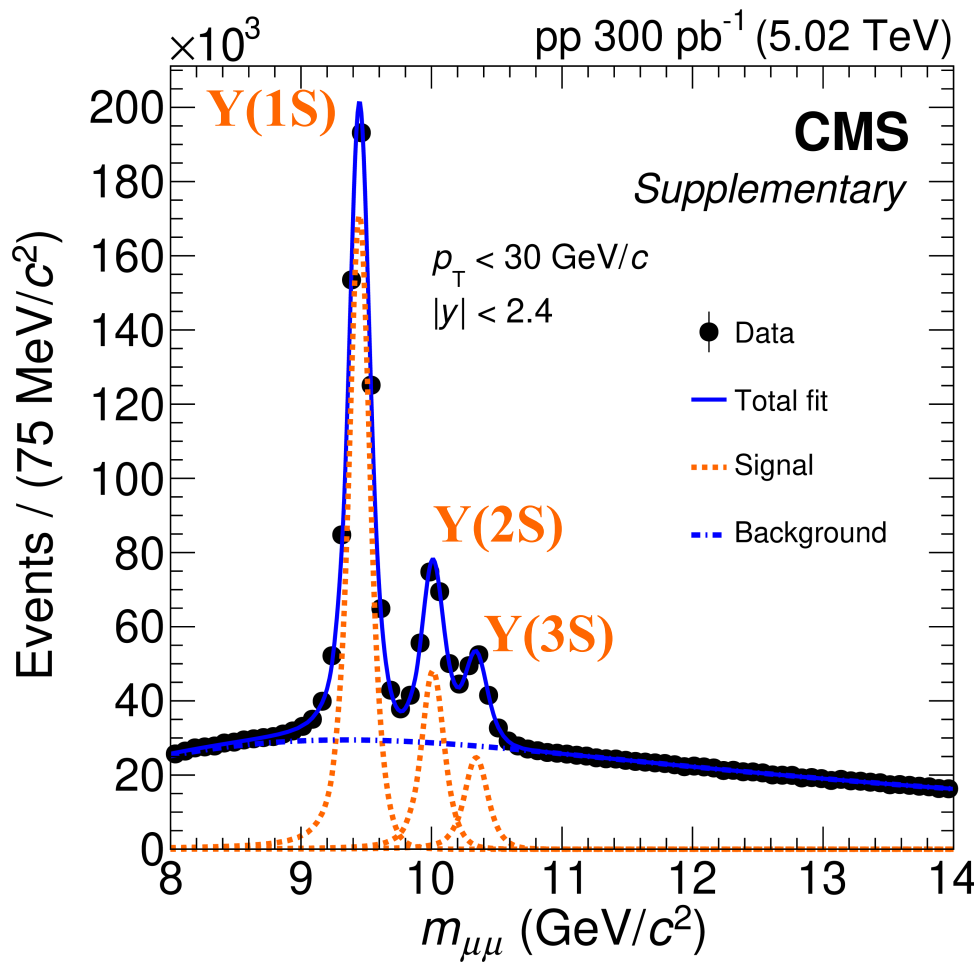


- Increasing suppression for increasing centrality
 - ψ(2S) is more suppressed than the J/ψ meson

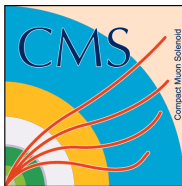


Подавление Y в Pb+Pb

arXiv:2303.17026

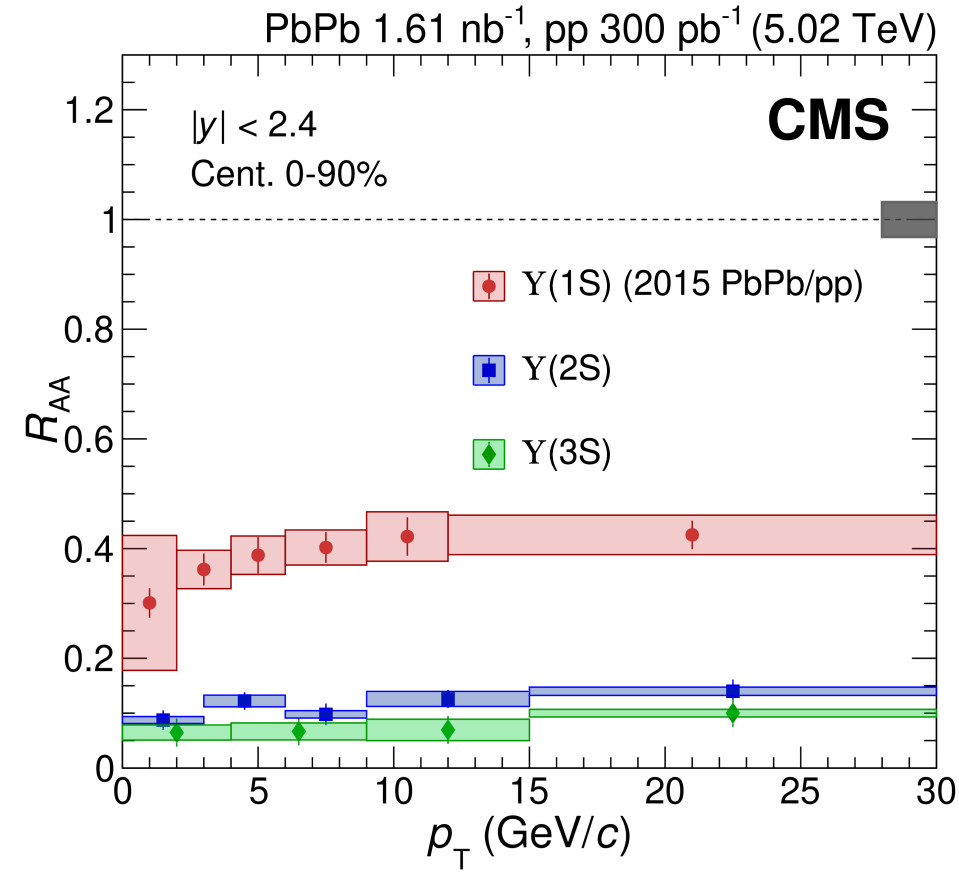
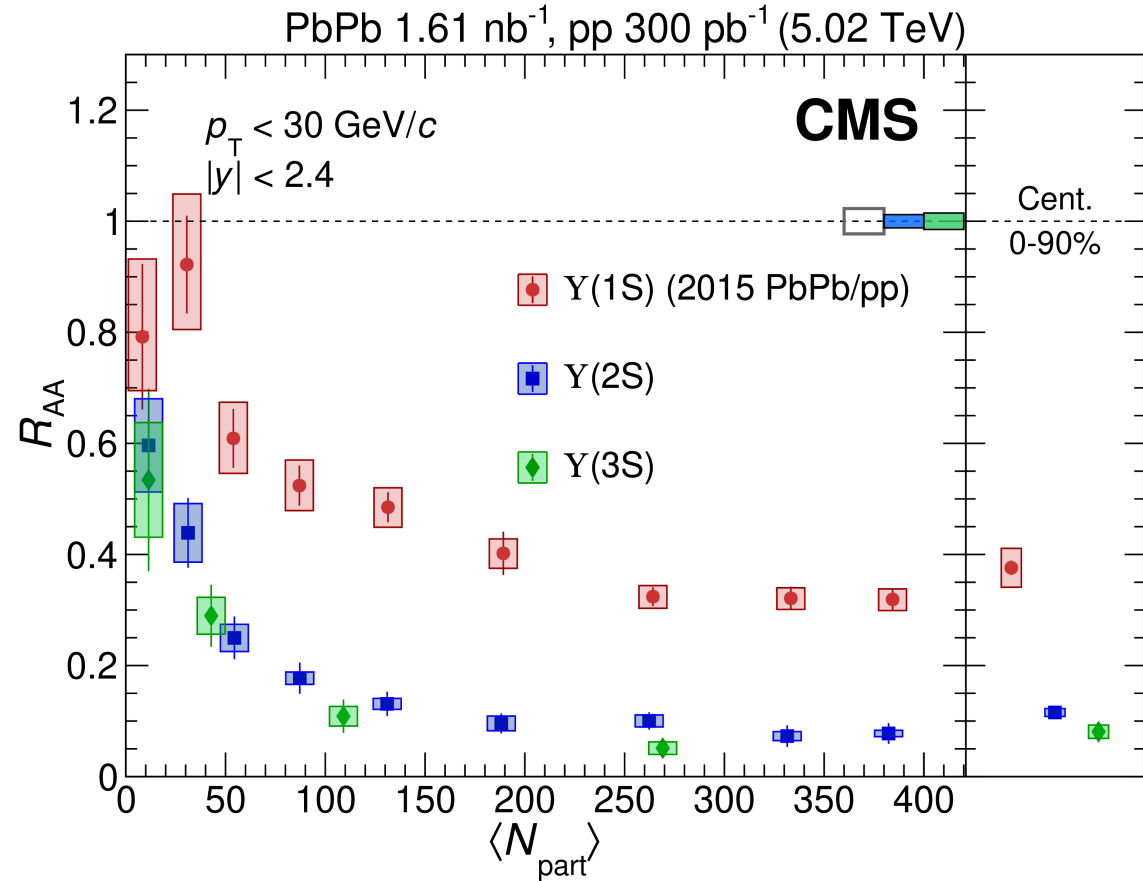


- Observation of sequential suppression of Y family in Pb+Pb.
 - First observation of Y(3S) in heavy-ion collisions! ($\sigma > 5$)

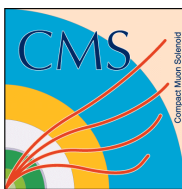


Подавление Y в Pb+Pb

arXiv:2303.17026



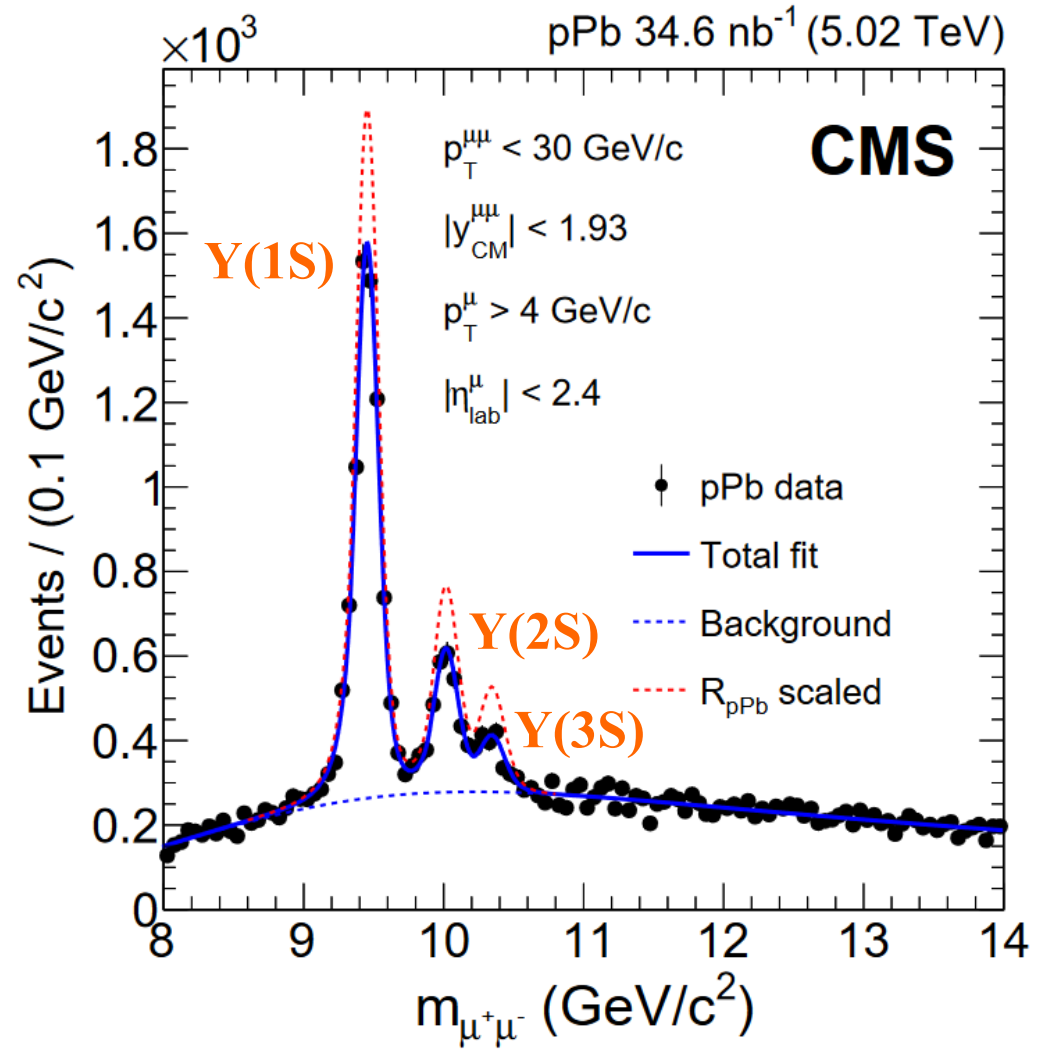
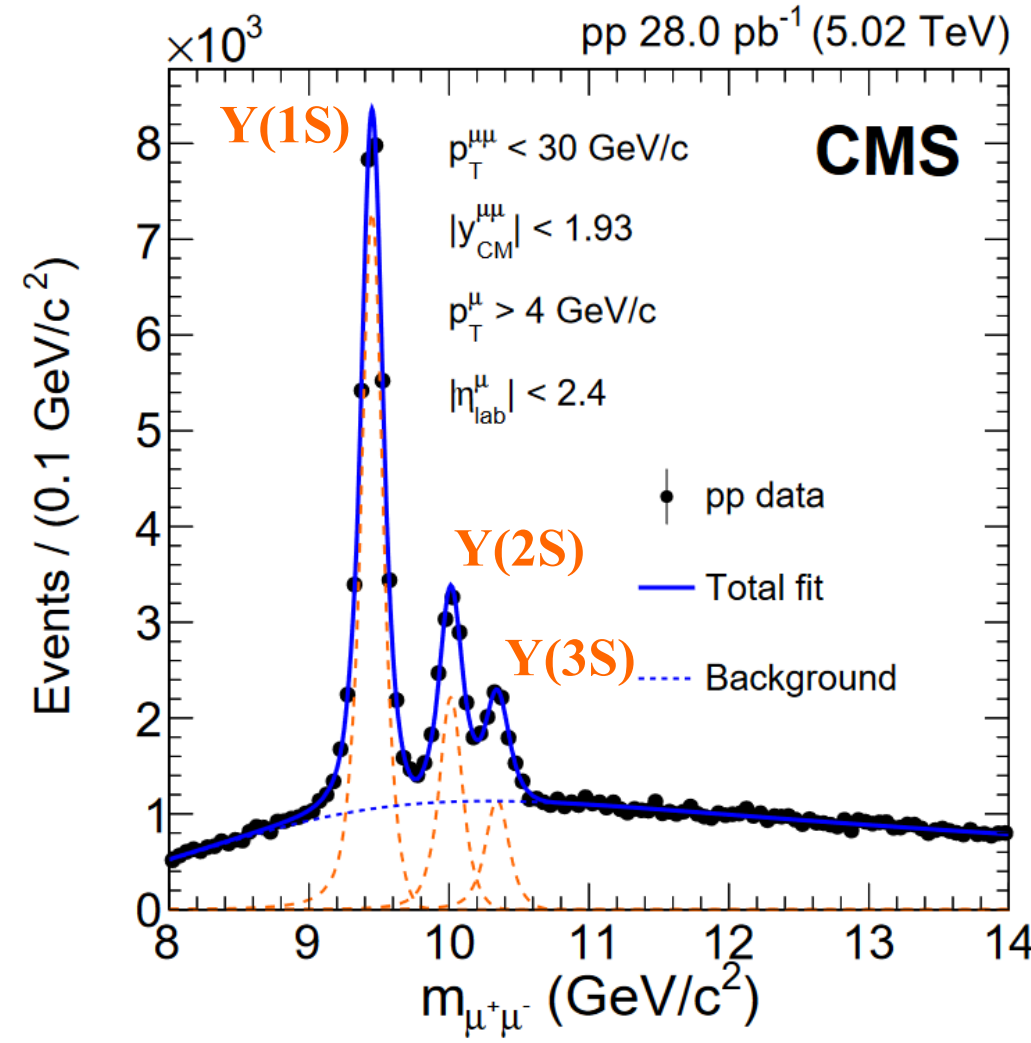
- R_{AA} is decreasing with numbers of participants of Pb+Pb collision.
 - Slightly increasing with p_T ?



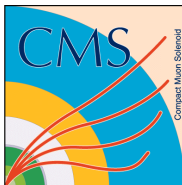
Подавление Y в p+Pb



PLB 835 (2022) 137397

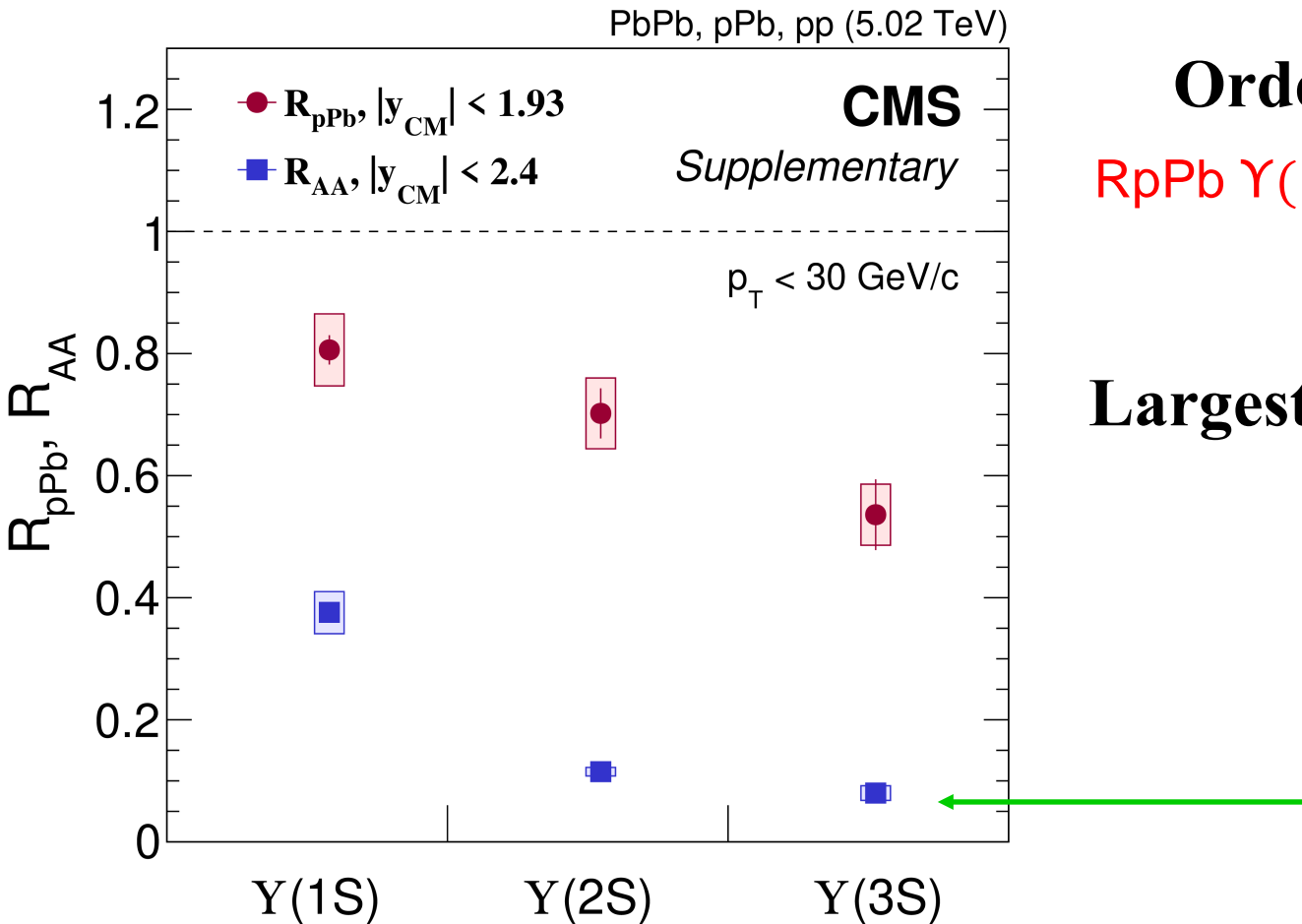


All Y states are found to be suppressed in p+Pb collisions compared to p+p collisions.



Подавление Y в p+Pb и Pb+Pb

arXiv:2303.17026



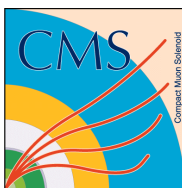
Ordered in binding energy

$R_{pPb} \ U(1S) > R_{pPb} \ U(2S) > R_{pPb} \ U(3S)$

Largest suppression is in Pb+Pb

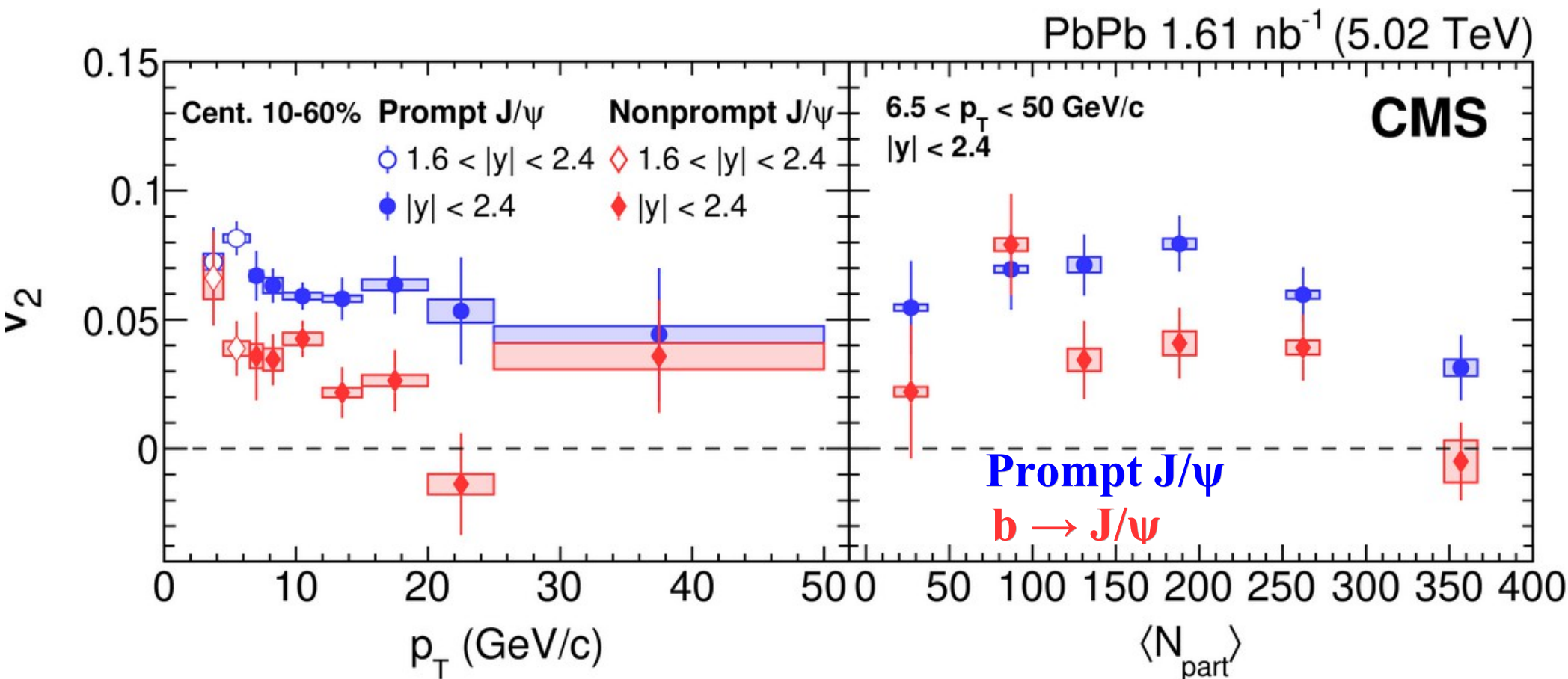
$R_{pPb} > R_{pbPb}$

New result for $U(3S)$

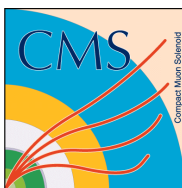


v_2 J/ ψ в Pb+Pb

JHEP 10 (2023) 115

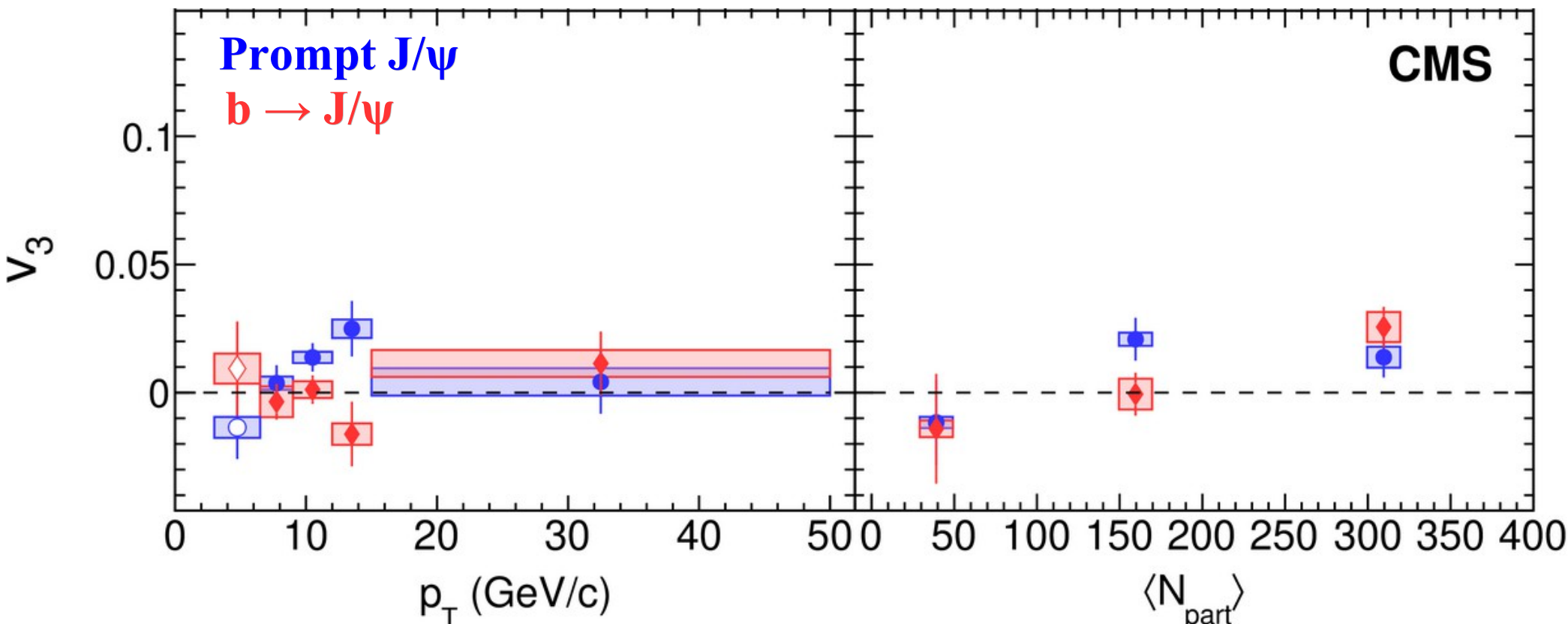


- Large v_2 of J/ψ up to $p_T = 50 \text{ GeV}/c$
 - $v_2(b \rightarrow J/\psi) < v_2(\text{prompt } J/\psi)$

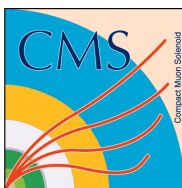


v_3 J/ ψ в Pb+Pb

JHEP 10 (2023) 115



- First measurement of v_3 for prompt and non-prompt J/ψ separately
 - no significant non-zero v_3 (J/ψ)

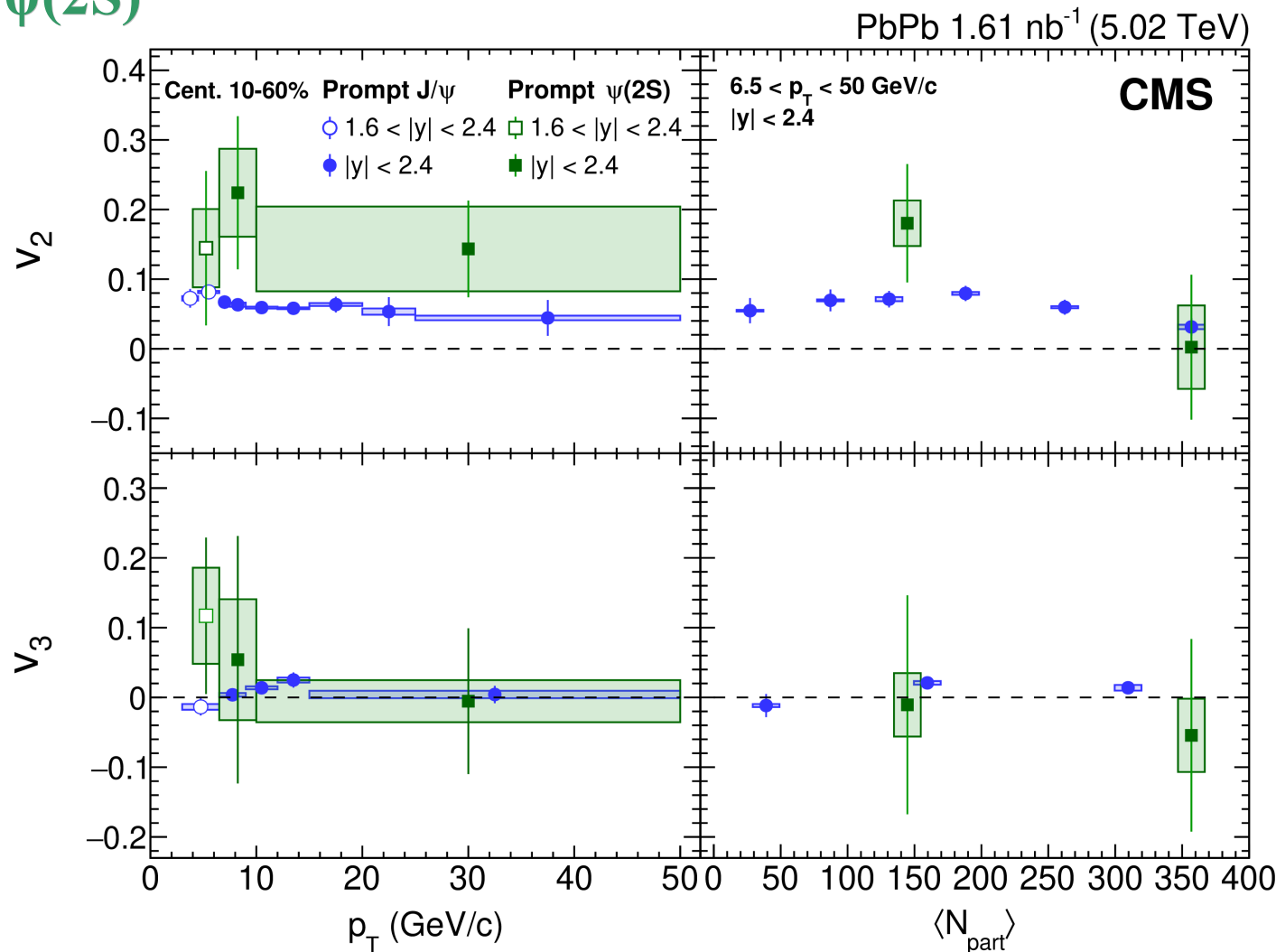


v_2 и $v_3 \psi(2S)$ в Pb+Pb

JHEP 10 (2023) 115



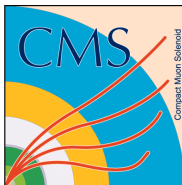
Prompt $\psi(2S)$



- First measurements for prompt $\psi(2S)$!

- v_2 is non-zero in $p_T = 4 - 50 \text{ GeV}/c$, v_3 is close to zero

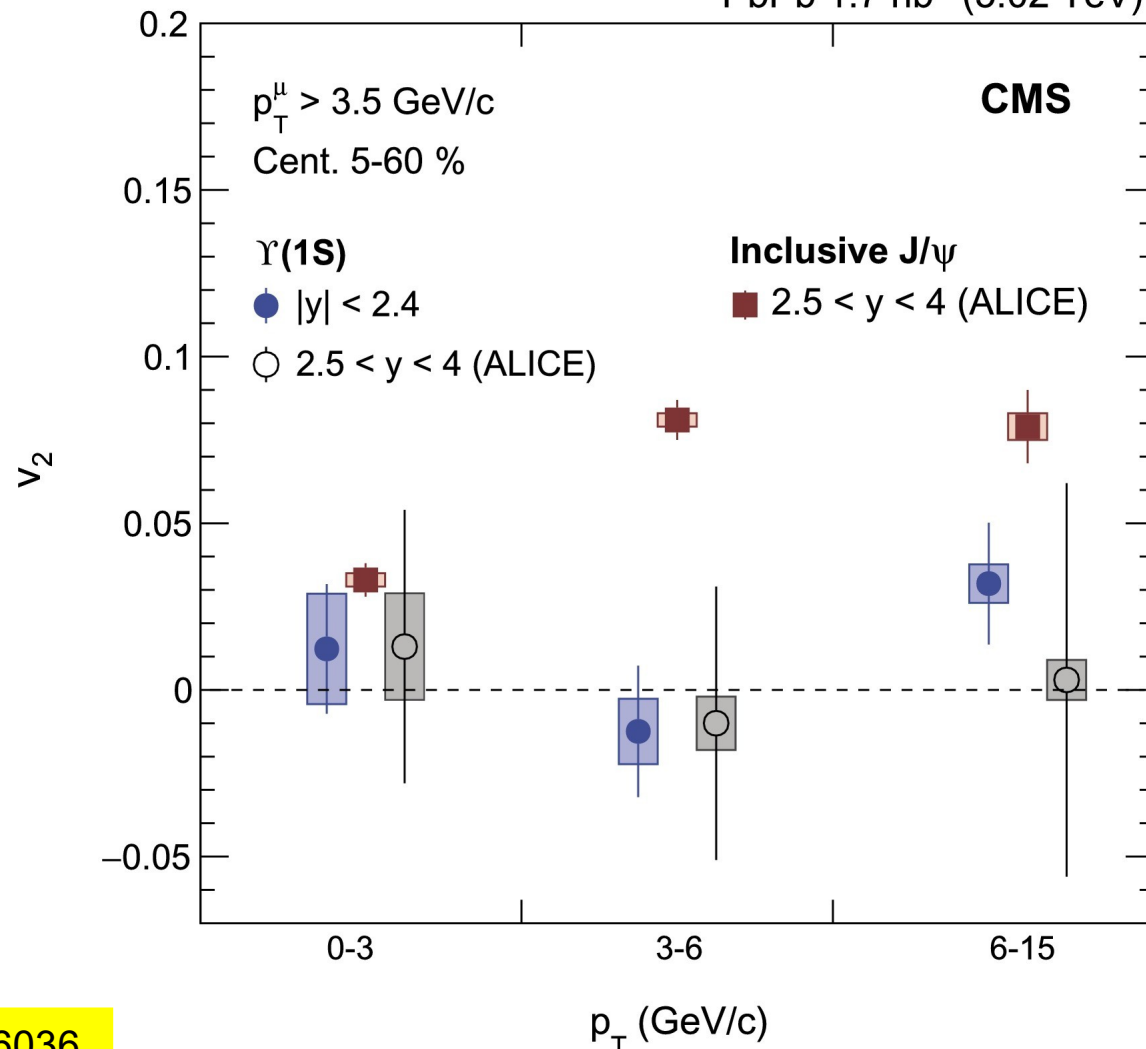
Сергей Петрушинко (CMS Collaboration) Физика тяжелых ионов на CMS



v_2 Y(1S) в Pb+Pb



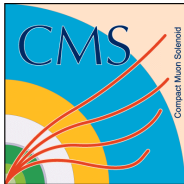
PbPb 1.7 nb⁻¹ (5.02 TeV)



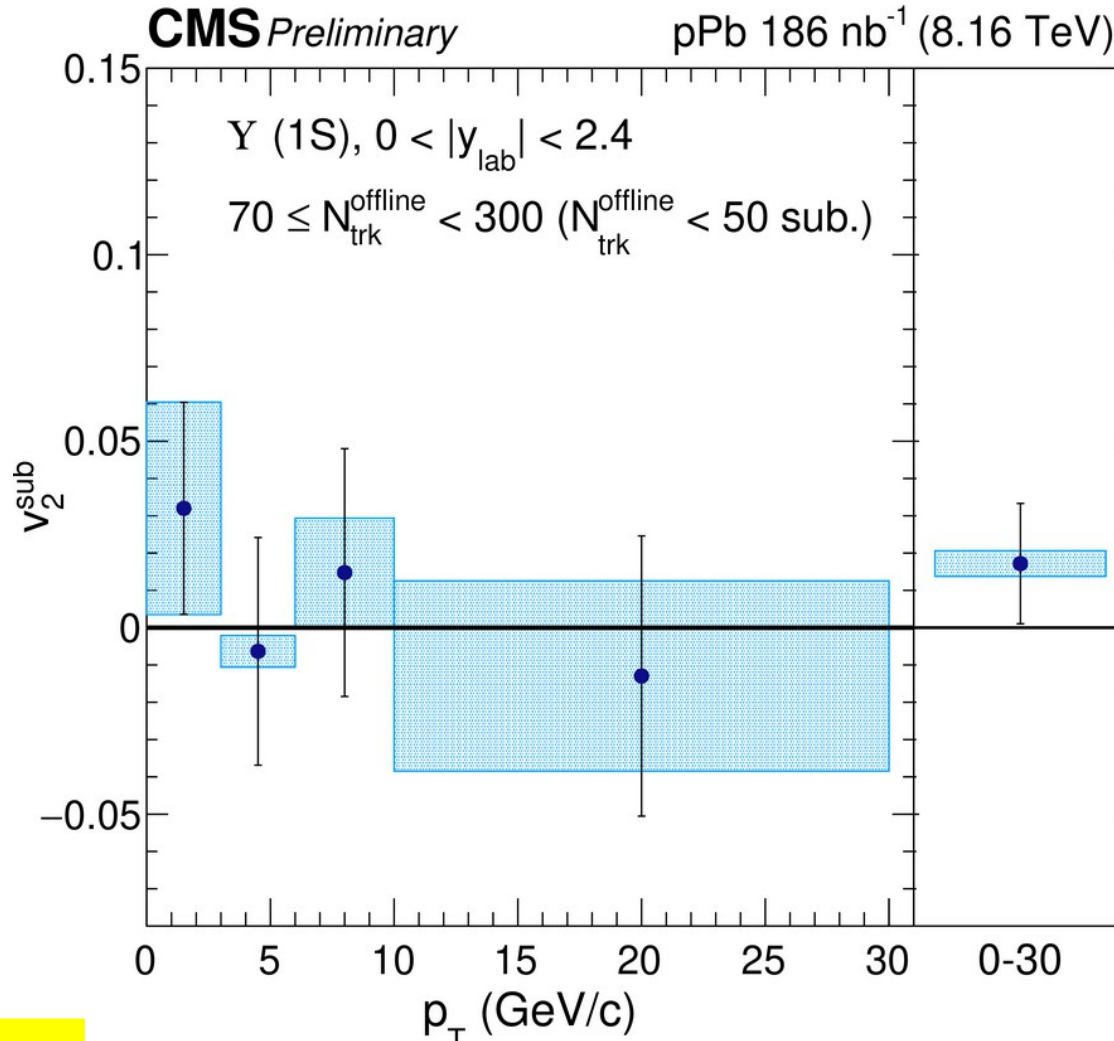
PLB 813 (2021) 136036

p_T (GeV/c)

In contrast to the J/ψ mesons,
no azimuthal anisotropy is observed for the $\Upsilon(1S)$ in Pb+Pb...

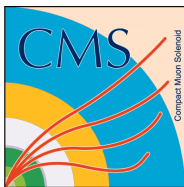


v_2 Y(1S) в p+Pb



PLB 850 (2024) 138518

... and also no azimuthal anisotropy for the Y(1S) in p+Pb !



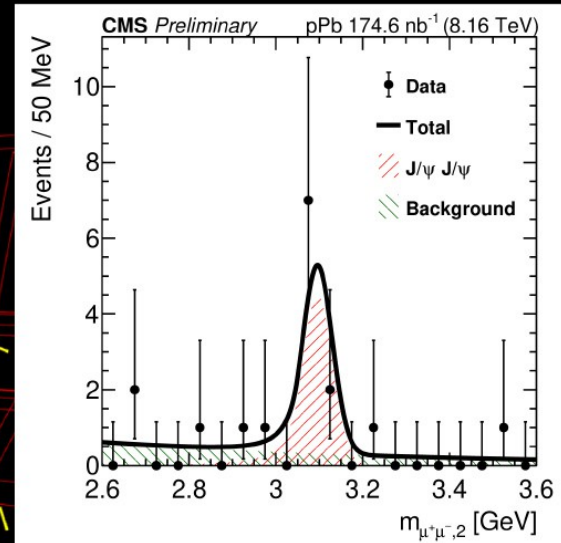
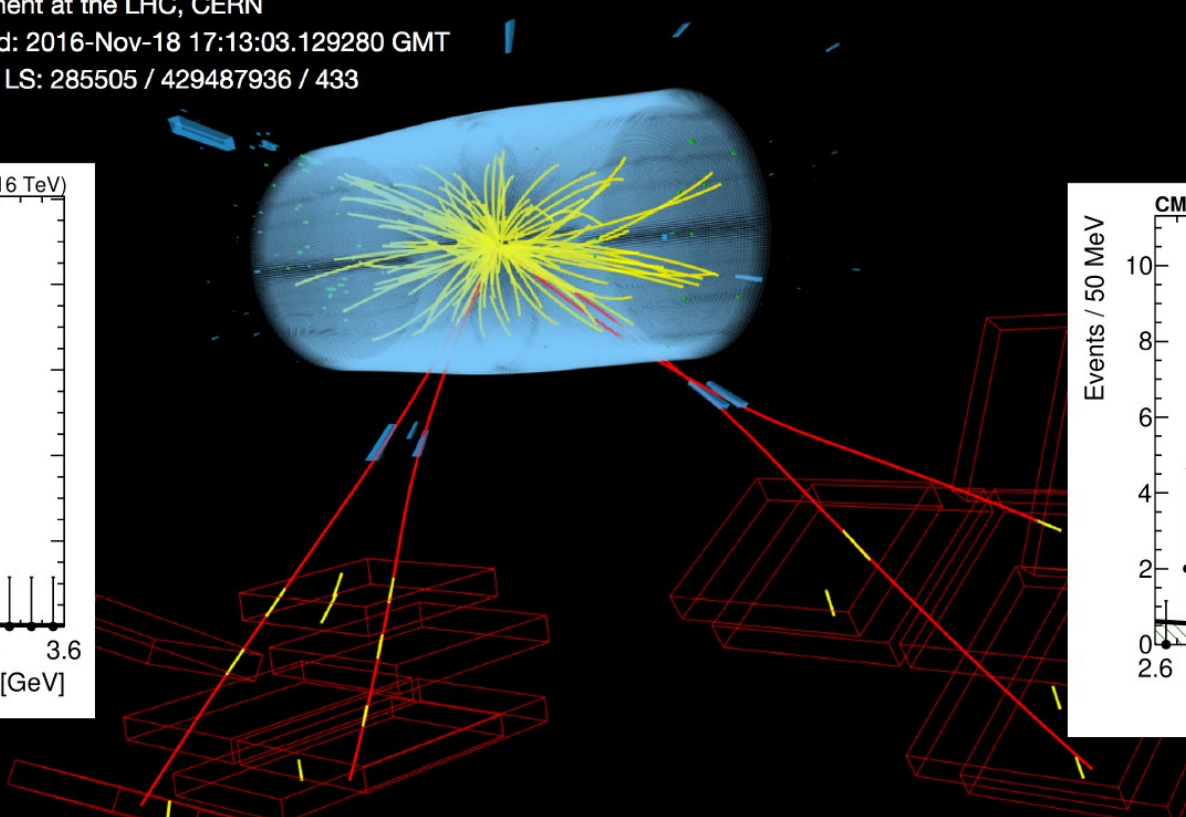
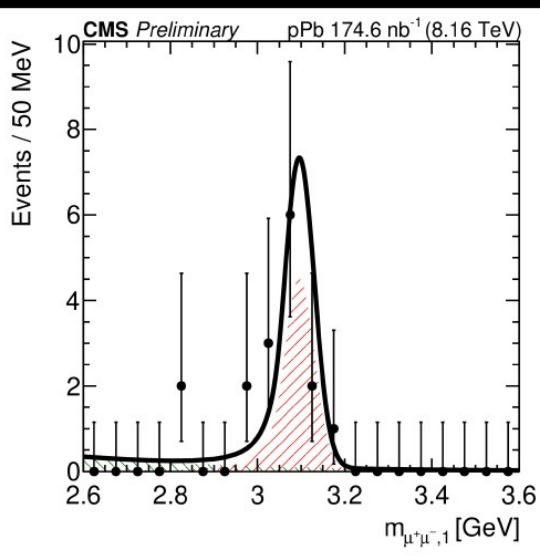
Рождение двух J/ψ в $p+Pb$



CMS-PAS-HIN-23-013

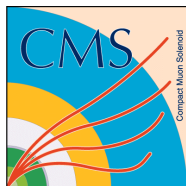


CMS Experiment at the LHC, CERN
Data recorded: 2016-Nov-18 17:13:03.129280 GMT
Run / Event / LS: 285505 / 429487936 / 433



$$N(J/\psi J/\psi \rightarrow 2 \mu^+ \mu^-) = 8.5 \pm 3.4 \text{ events}$$

$$\sigma_{\text{fiducial}}(pPb \rightarrow J/\psi J/\psi) = 22.0 \pm 8.9 \text{ (stat)} \pm 1.5 \text{ (syst)} \text{ nb}$$

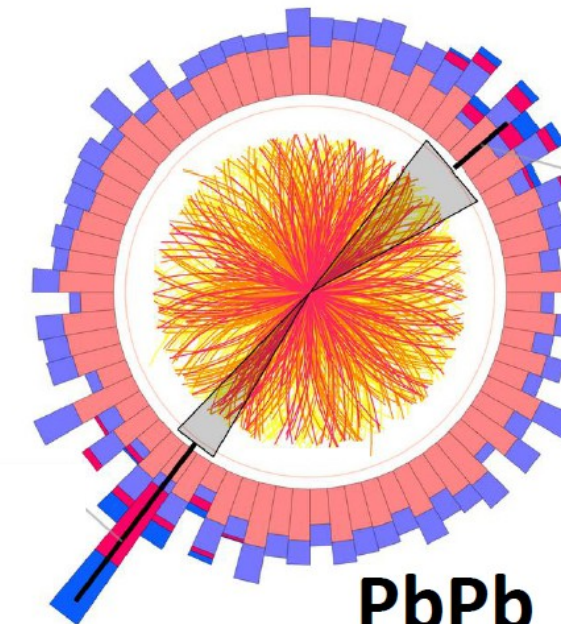
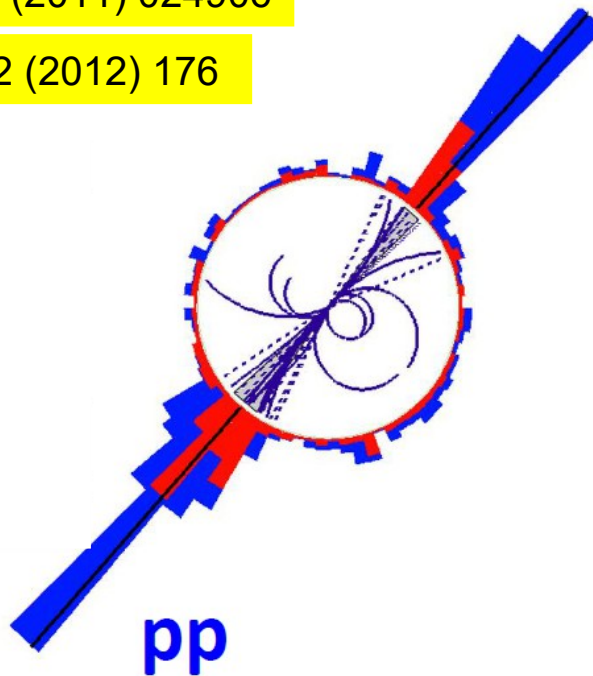


“Jet quenching” (“гашение” струй) в Pb+Pb

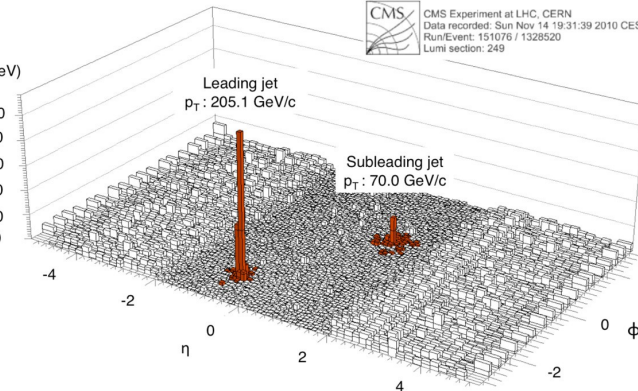


PRC 84 (2011) 024906

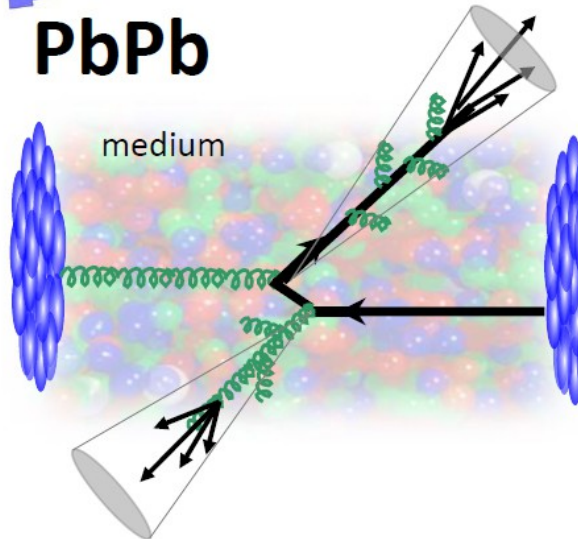
PLB 712 (2012) 176



!!



PbPb



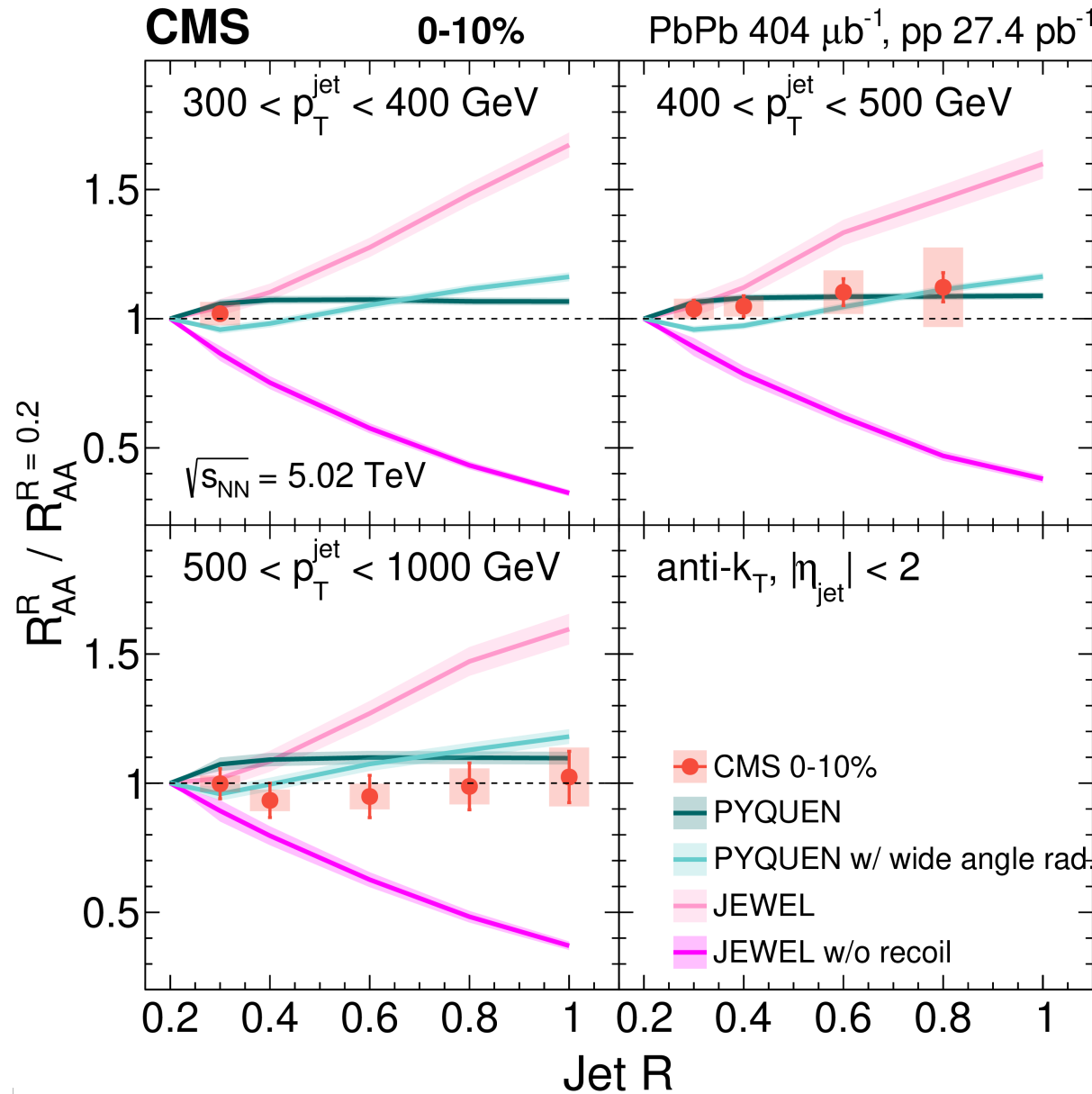
- Asymmetric dijets observed more frequently in PbPb collisions
- The stopping power (dE/dx) of the Quark Soup is **Incredibly Strong**



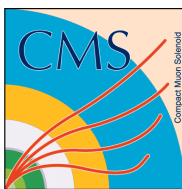
Сканирование по ширине струй



JHEP 05 (2021) 284



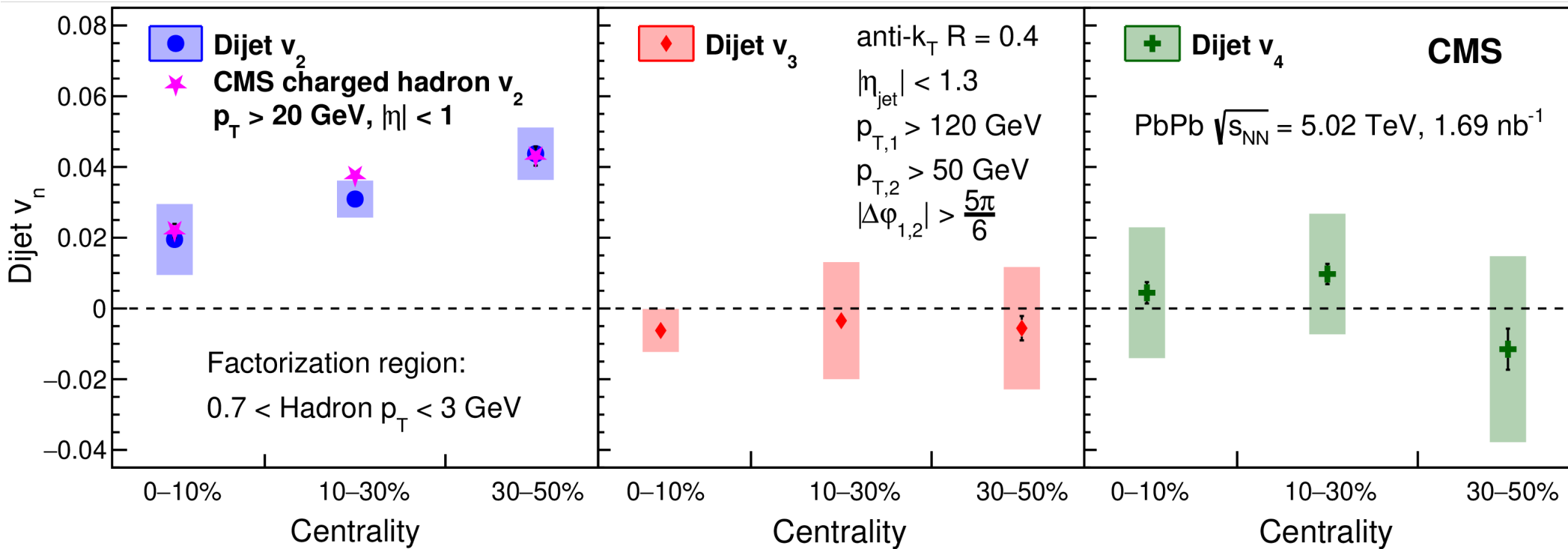
- Sensitive to balance between increasing radiative sources and recovering re-distributed energy
- Enables simultaneous comparisons of model calculations across jet radii
- First time at CMS: no radius dependence of jet energy loss in central Pb+Pb collisions for $400 \text{ GeV}/c < p_T \text{ jet} < 500 \text{ GeV}/c$ (Also for $400 < p_T \text{ jet} < 500 \text{ GeV}/c$)



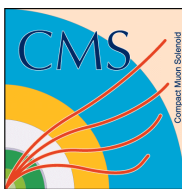
Азимутальная анизотропия двух-струйных событий в Pb+Pb



JHEP 07 (2023) 139

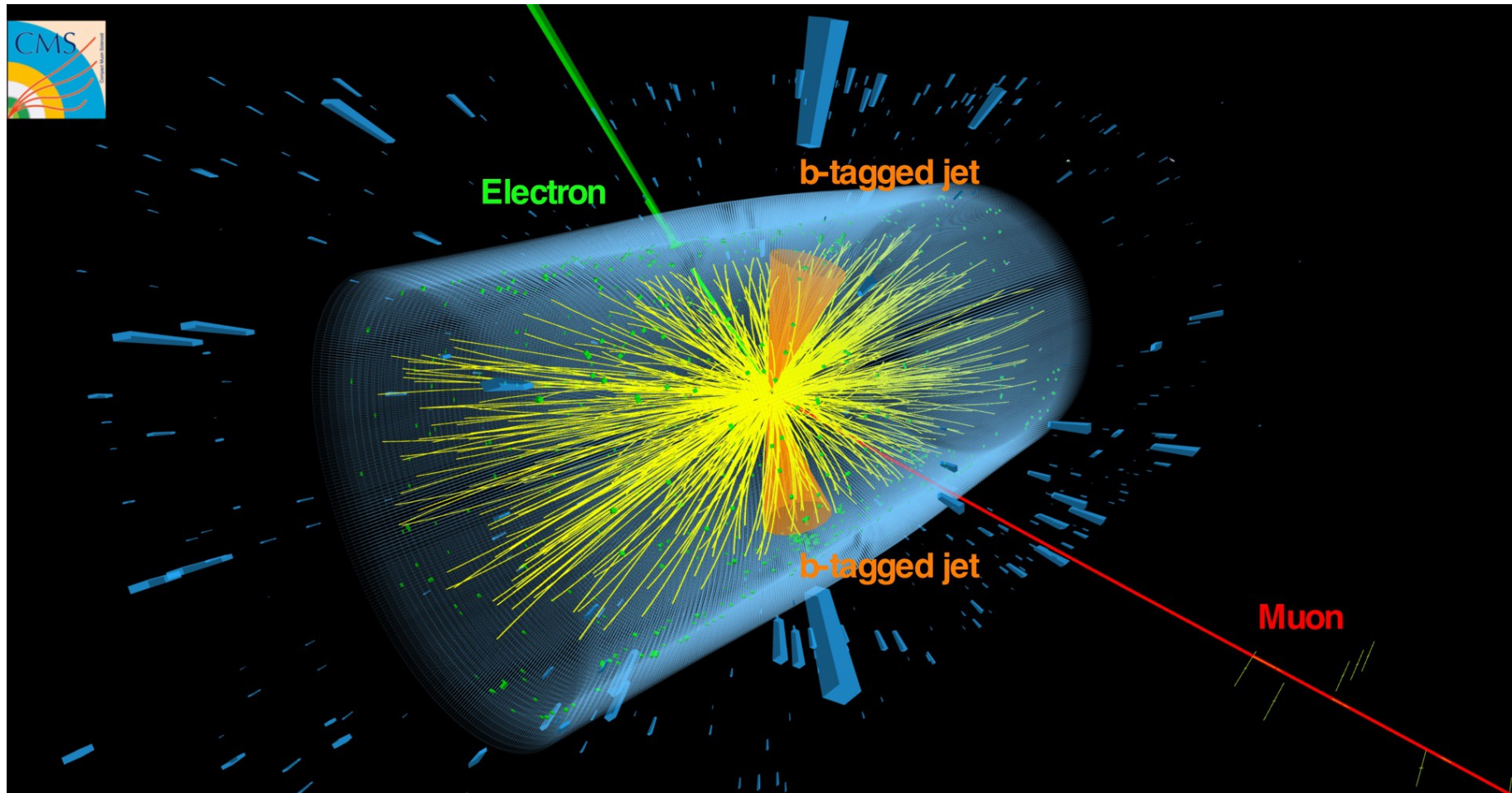


- v_2 , v_3 and v_4 of the di-jets in Pb+Pb were measured for the first time
 - Di-jets v_2 is compatible with v_2 of high p_T hadrons
 - Di-jets v_3 and v_4 are consistent with zero



Первое наблюдение топ кварка в Pb+Pb

PRL 125 (2020) 222001



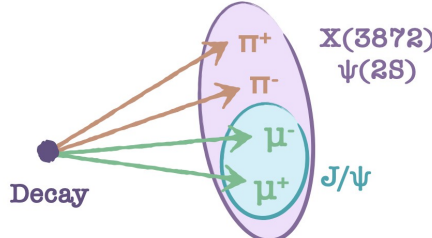
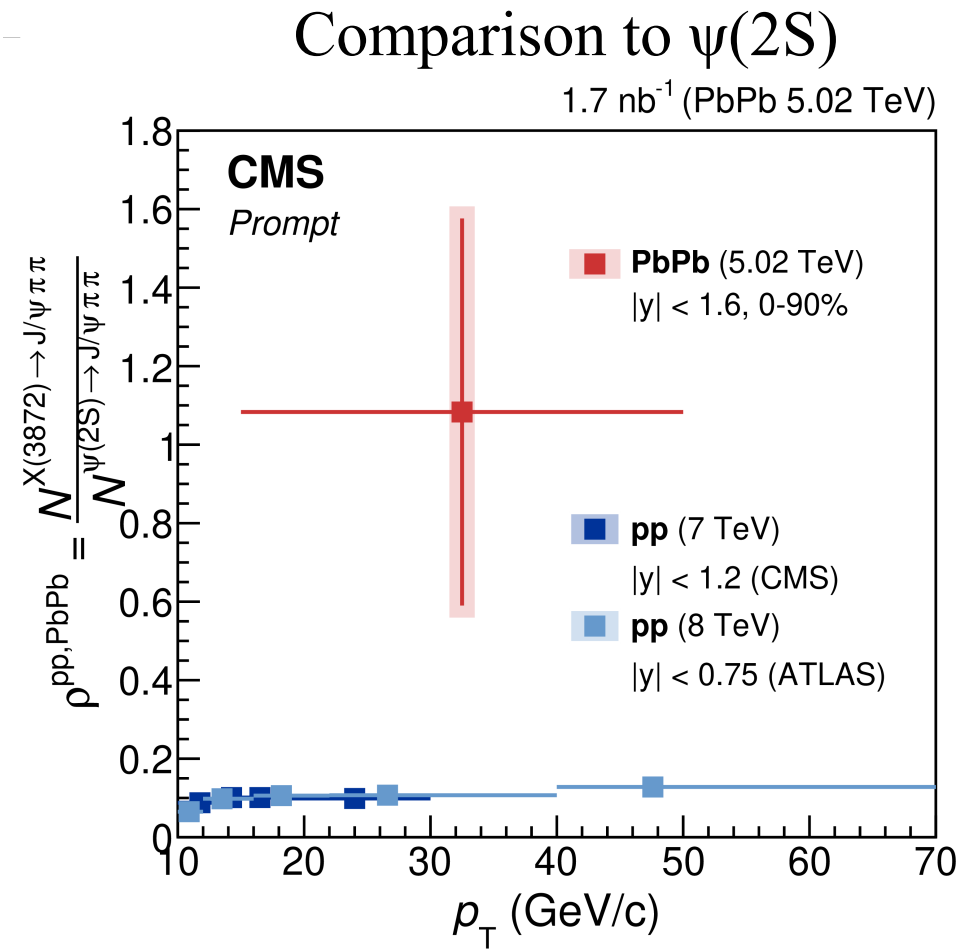
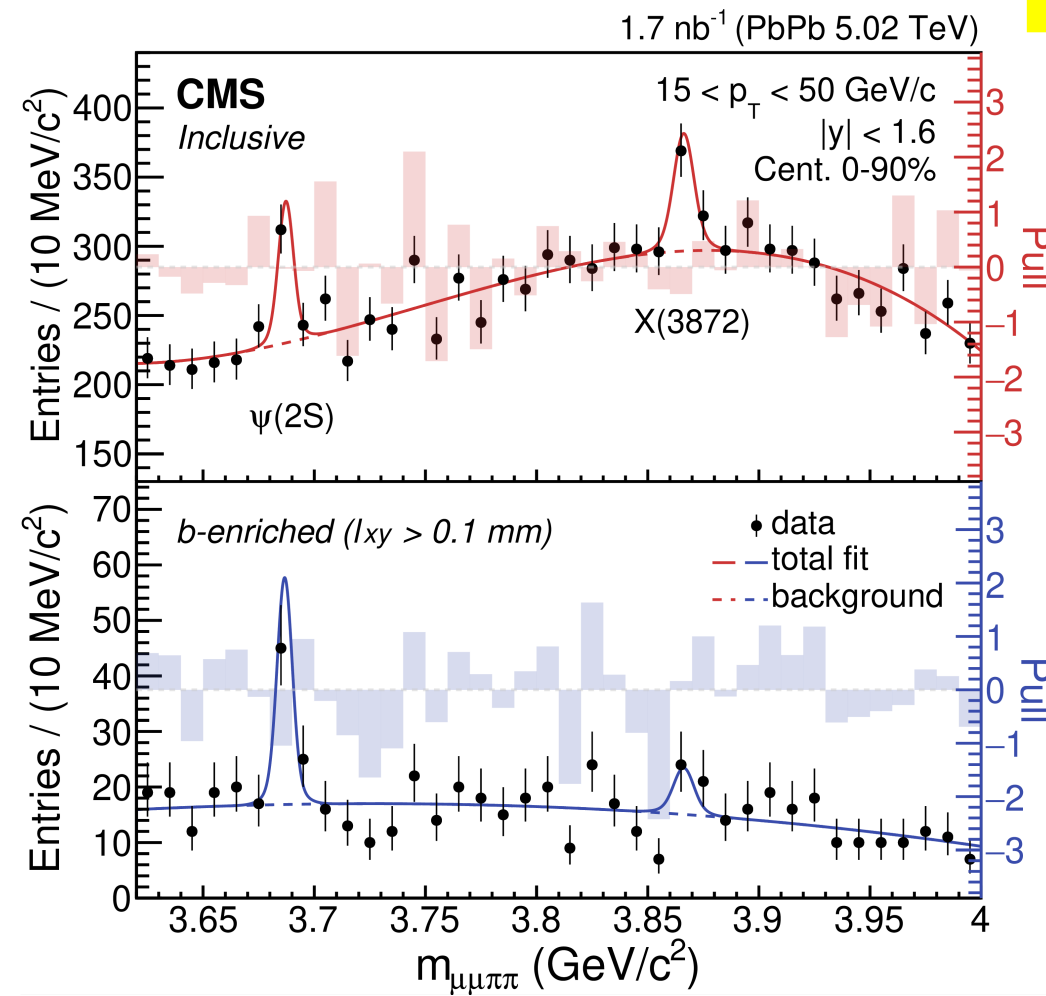
Using either charged leptons only or charged leptons + b jets.
The measured cross sections are compatible with expectations from scaled proton-proton data and QCD predictions.



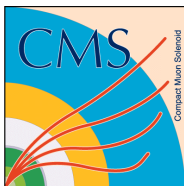
Рождение X(3872) в Pb+Pb



PRL 128 (2022) 032001



Result provides a unique experimental input to the theory, towards elucidating the production mechanism and the nature of the X(3872).



$f_0(980)$ в $p+Pb$ столкновениях

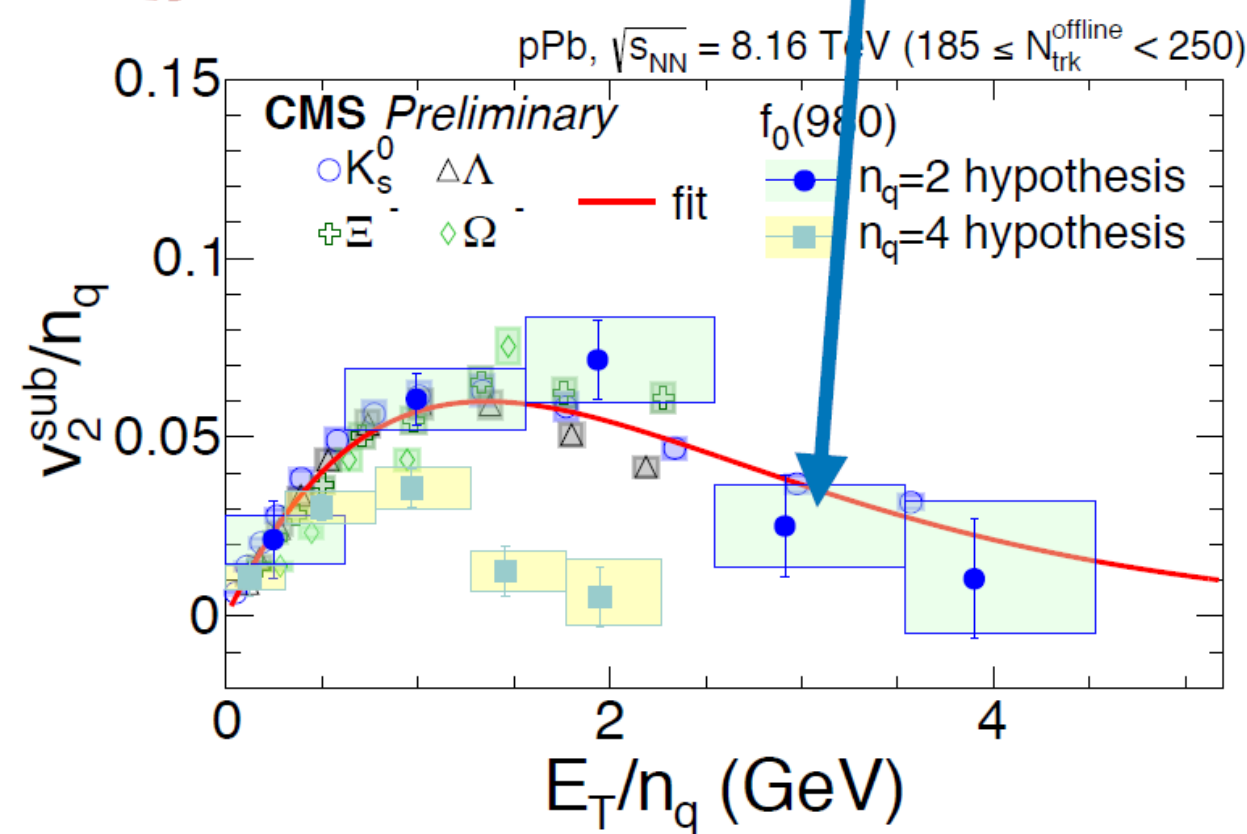
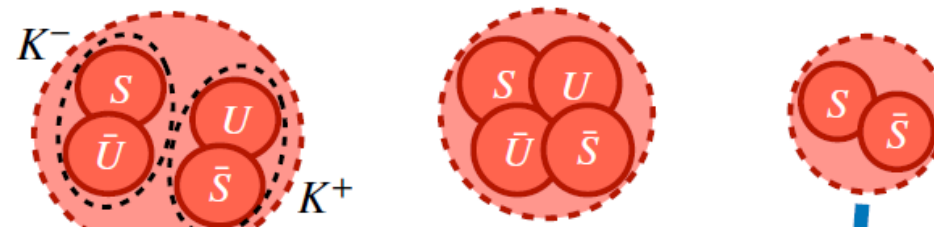
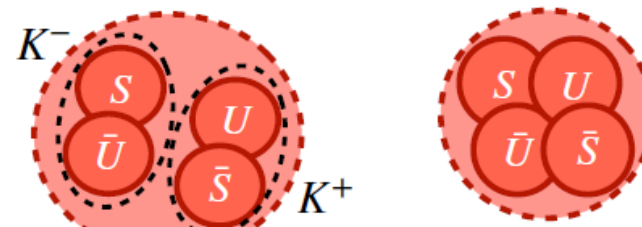
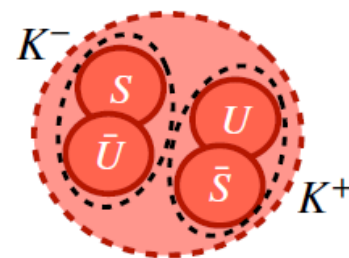
arXiv:2312.17092



v_2 of $f_0(980)$ measured in $p+Pb$

Inner structure unknown:

- K^-K^+ molecule
 - Tetraquark
 - Diquark

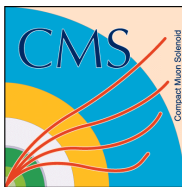


Use constituent quark scaling to extract number of quarks

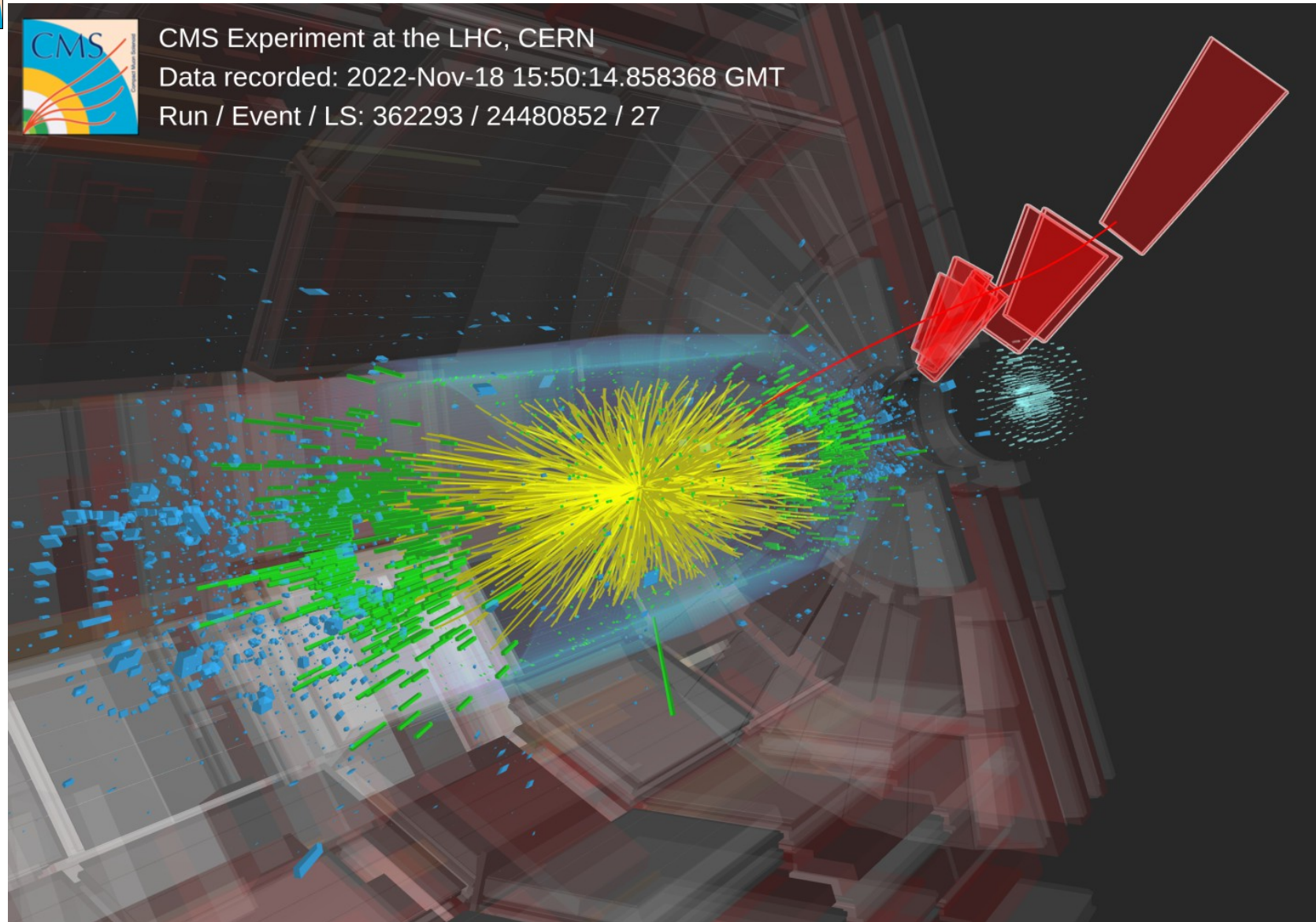
$$v_2(E_T)/n_q = v_{2,q}(E_T/n_q)$$

$n_q = 4$ excluded at $\sigma > 3.1$

$n_q = 2$ favored

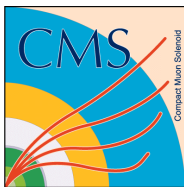


Run 3 начался в июле 2022 года



**One of the first Pb-Pb collisions during Run 3 in CMS detector.
Lead beams traveled for 3 days (17-19 November 2022) in the LHC !**

Сергей Петрушинко (CMS Collaboration) Физика тяжелых ионов на CMS



Первые результаты по тяжелым ионам

CMS Run 3 $dN_{ch}/d\eta$

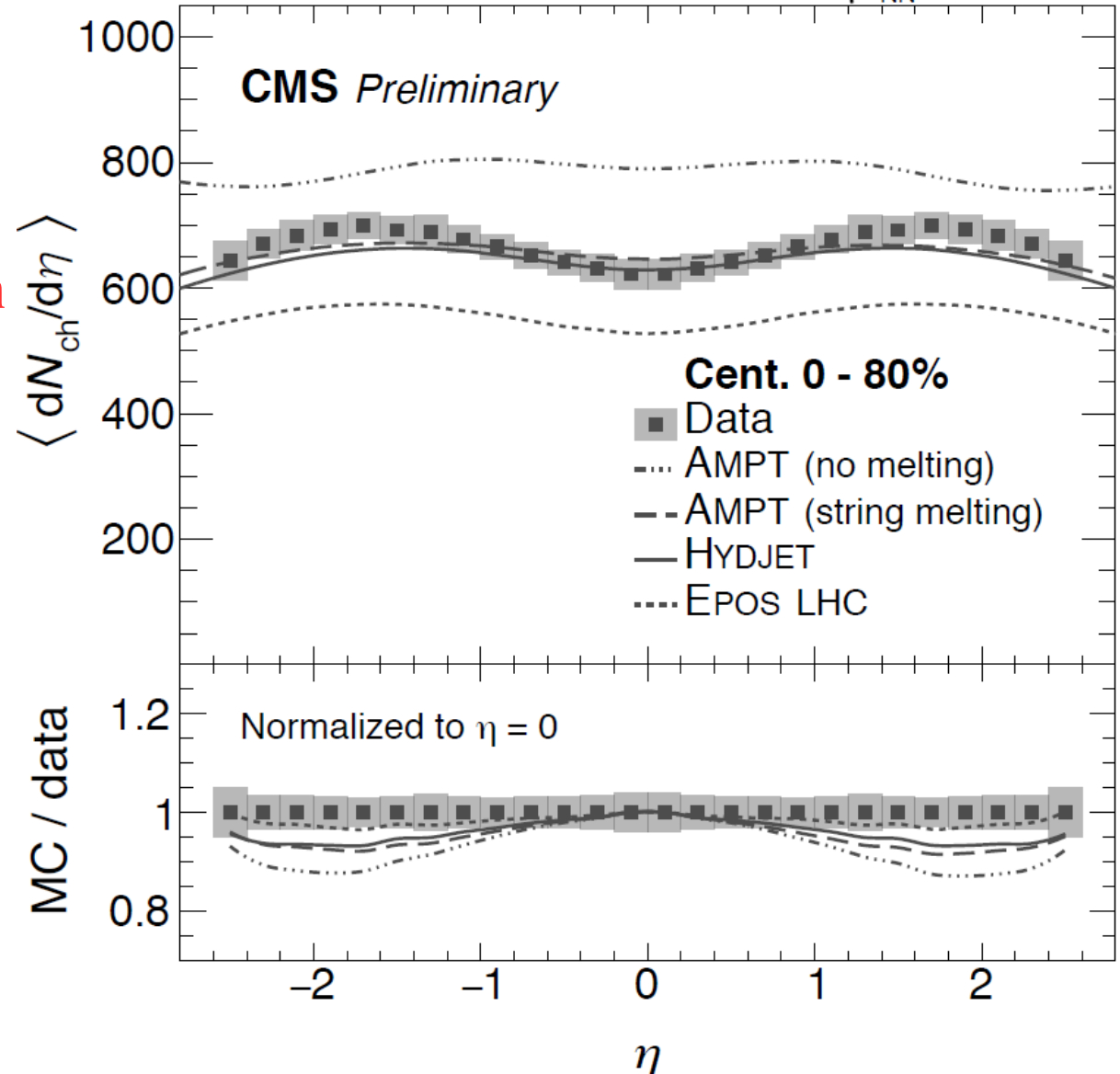


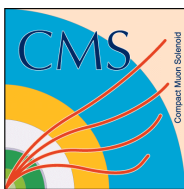
CMS PAS HIN-23-007

PbPb $\sqrt{s_{NN}} = 5.36 \text{ TeV}$

5.36 TeV Pb+Pb data
from 2022 test heavy-ion run

Monte Carlo generators try to
predict both magnitude and
shape of $dN_{ch}/d\eta$





Первые результаты по тяжелым ионам

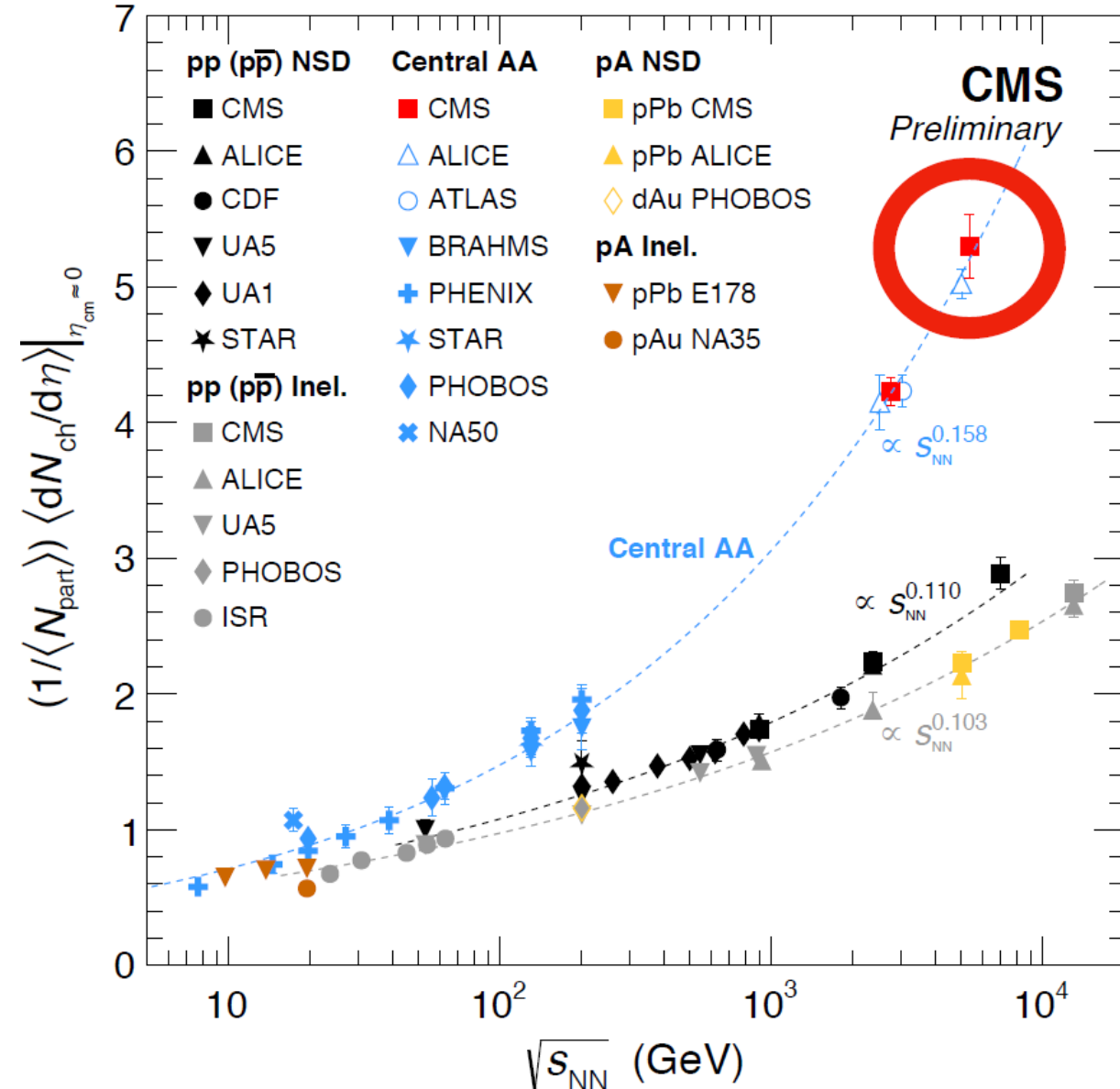


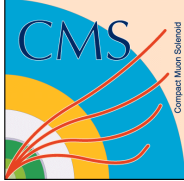
CMS Run 3 v_2

CMS PAS HIN-23-007

5.36 TeV Pb+Pb data
from 2022 test heavy-ion run

$\sqrt{s_{NN}}$ dependence consistent with
power law calculated using
lower energies





ЗАКЛЮЧЕНИЕ



- Many interesting heavy-ion physics results with the CMS detector in $p+p$, $p+Pb$, $Pb+Pb$ and $Xe+Xe$...
- Future heavy-ion program at the LHC (Run 3 and 4) with the upgraded CMS detector will provide more exciting opportunities! Stay tuned!